

A ✓
DIVISION PROFESIONAL
FACULTAD DE INGENIERIA
UNIVERSIDAD NACIONAL AUTONOMA DE MEXICO

**ANALISIS Y DISEÑO DEL EDIFICIO
UBICADO EN PLATON N°115 CD. MEXICO**

**TESIS PROFESIONAL
QUE PARA OBTENER EL TITULO DE
INGENIERO CIVIL
P R E S E N T A :**

FRANCISCO JAVIER VENEGAS BARRAGAN

MEXICO D.F. JULIO 1979



UNAM – Dirección General de Bibliotecas

Tesis Digitales
Restricciones de uso

DERECHOS RESERVADOS ©
PROHIBIDA SU REPRODUCCIÓN TOTAL O PARCIAL

Todo el material contenido en esta tesis está protegido por la Ley Federal del Derecho de Autor (LFDA) de los Estados Unidos Mexicanos (Méjico).

El uso de imágenes, fragmentos de videos, y demás material que sea objeto de protección de los derechos de autor, será exclusivamente para fines educativos e informativos y deberá citar la fuente donde la obtuvo mencionando el autor o autores. Cualquier uso distinto como el lucro, reproducción, edición o modificación, será perseguido y sancionado por el respectivo titular de los Derechos de Autor.



FACULTAD DE INGENIERIA
EXAMENES PROFESIONALES
60-1-60

ESTUDIANTES
MEXICANOS

Al Pasante señor FRANCISCO JAVIER VENEGAS BARRAGAN,
P r e s e n t e .

En atención a su solicitud relativa, me es grato transcribir a usted a continuación el tema que aprobado por esta Dirección propuso el Profesor M. I. Claudio Merrisfield Castro, para que lo desarrolle como tesis en su Examen Profesional de Ingeniero CIVIL.

"ANALISIS Y DISEÑO DEL EDIFICIO UBICADO EN PLATON No. 115
CD. MEXICO"

- I Justificación de la estructura
- II Análisis de cargas (permanentes y eventuales)
- III Proporcionamiento de miembros
- IV Justificación de la cimentación
- V Proyecto de cimentación

Ruego a usted se sirva tomar debida nota de que en cumplimiento de lo especificado por la Ley de Profesiones, deberá prestar Servicio Social durante un tiempo mínimo de seis meses como requisito indispensable para sustentar Examen Profesional; así como de la disposición de la Dirección General de Servicios Escolares en el sentido de que se imprima en lugar visible de los ejemplares de la tesis, el título del trabajo realizado.

Atentamente
"POR MI RAZA HABLARA EL ESPIRITU"
Cd. Universitaria, 19 de marzo de 1979
EL DIRECTOR

INT. JAVIER JIMENEZ ESPRIU

I N D I C E

Pagina

I.-	JUSTIFICACION DE LA ESTRUCTURACION	1
1.	Localización	2
2.	Distribución Arquitectónica	2
3.	Tipo de estructura	3
II.-	ANALISIS DE CARGAS (PERMANENTES Y EVENTUALES)	4
1.	ANALISIS DE CARGAS PERMANENTES	5
1.1	Análisis	5
1.2	Especificaciones de Carga	5
1.3	Planos de Carga	10
1.4	Método empleado	10
2.	ANALISIS DE CARGAS EVENTUALES (SISMICAS)	18
2.1	Sismos	18
2.2	Métodos de análisis sísmicos	18
2.2.1	Método estático	18
2.2.1.1	Introducción	18
2.2.1.2	Hipótesis básicas	19
2.2.1.3	Fuerzas Sísmicas	20
2.2.1.4	Reducción de las Fuerzas Sísmicas	21
2.2.2	Efecto de torsión	26
2.2.3	Análisis dinámico	26
2.2.3.1	Introducción	26
2.2.3.2	Método de Superposición modal	27
2.2.3.3	Espectros de respuesta	32
2.2.3.4	Respuesta máxima probable	33
2.2.4	Ejemplo de análisis sísmico estático	47
III.	PROPORCIONAMIENTO DE MIEMBROS	69
1.	Definición	70
2.	Diseño de elementos que forman la super estructura	70
2.1	Diseño de nervadura principal	70
2.2	Diseño de nervadura secundaria	74
2.3	Diseño de Columna	76
IV	JUSTIFICACION DE LA CIMENTACION	86
V	PROYECTO DE CIMENTACION	88
	REFERENCIAS	93

I. JUSTIFICACION DE LA ESTRUCTURA

I. JUSTIFICACION DE LA ESTRUCTURA

1. LOCALIZACION.

El edificio se localiza en la calle de Platón No. 115, Colonia Po
lanco de la Cd. de México, D. F.

2. DISTRIBUCION ARQUITECTONICA

El edificio tiene forma rectangular en planta de 10 mts. de frente por 25.60 mts de largo, consta de un nivel para estacionamiento, - cinco plantas tipo, plantas 6° y 7° niveles (destinadas a habitación), Azotea y caseta de elevadores.

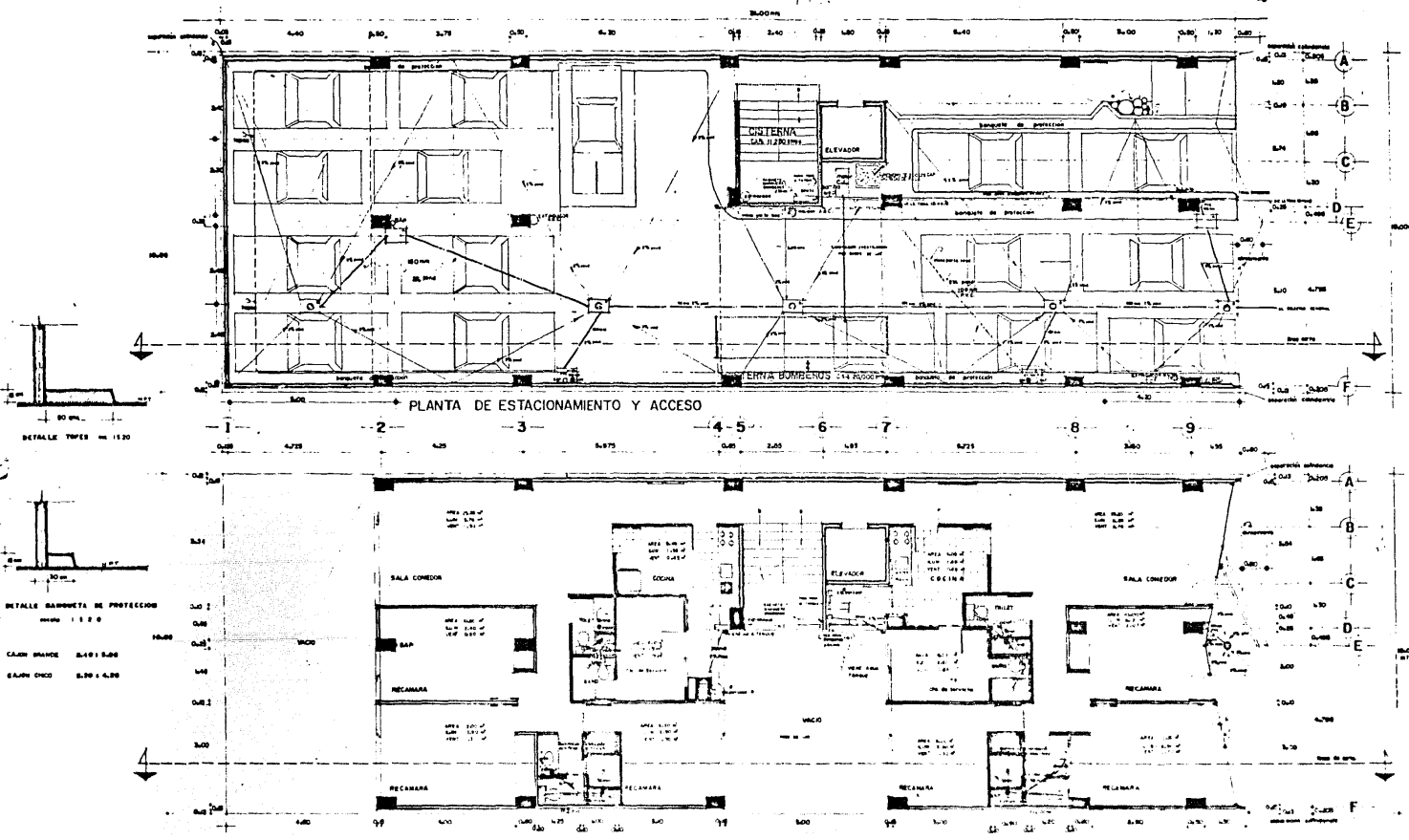
El estacionamiento tiene una capacidad para 16 automóviles, un cuadro de elevador, y rampa de escaleras, todo esto en un área de 310-
 m^2 .

La planta tipo consta de dos departamentos cada uno de ellos, con 2 ó 3 recamaras, sala comedor, cocina, baños y cuarto de servicios.

La planta 6° nivel también consta de dos departamentos pero con diferente distribución arquitectónica.

El 7° nivel consta de dos Pent-House y un cuarto de conserje, este nivel se remete 2.85 mts en el frente del edificio.

La distribución arquitectónica se puede ver en planos Arquitectoni



PLANTA TIPO F. 2°, 3°, 4°, 5° NIVEL

Journal of Health Politics, Policy and Law, Vol. 35, No. 4, December 2010
DOI 10.1215/03616878-35-4 © 2010 by The University of Chicago

6 [www.123RF.com](#) 123RF Stock Photos



APENDICE
SE APROBAN LAS INSTRUCCIONES MATERIALES INTERIOR
SEDE DE ESTADISTICA NACIONAL, QUE SERA CONSTITUI-
YENDO EN CONSECUENCIA Y DE ACUERDO A LAS
APLICABLES, RESERVANDOSE LA DIFUSION EL CASO

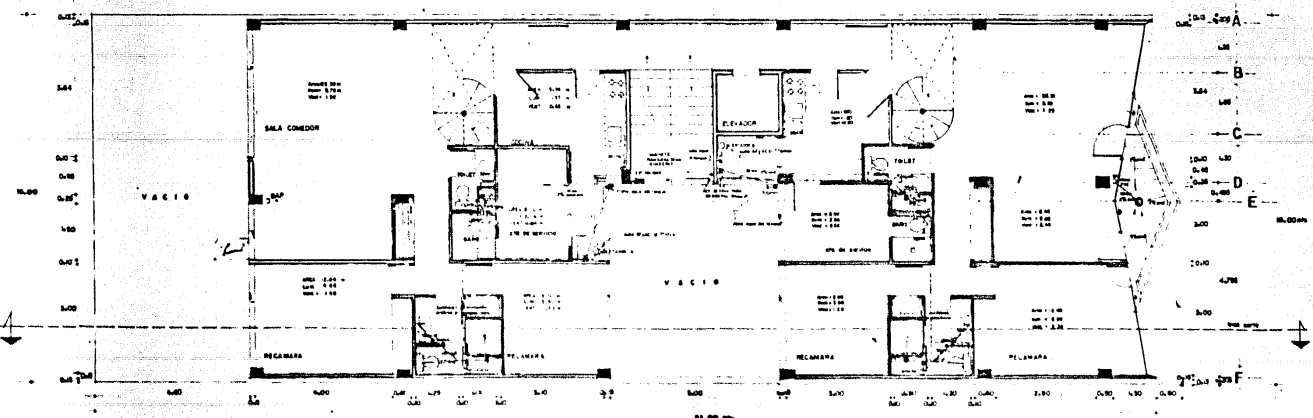
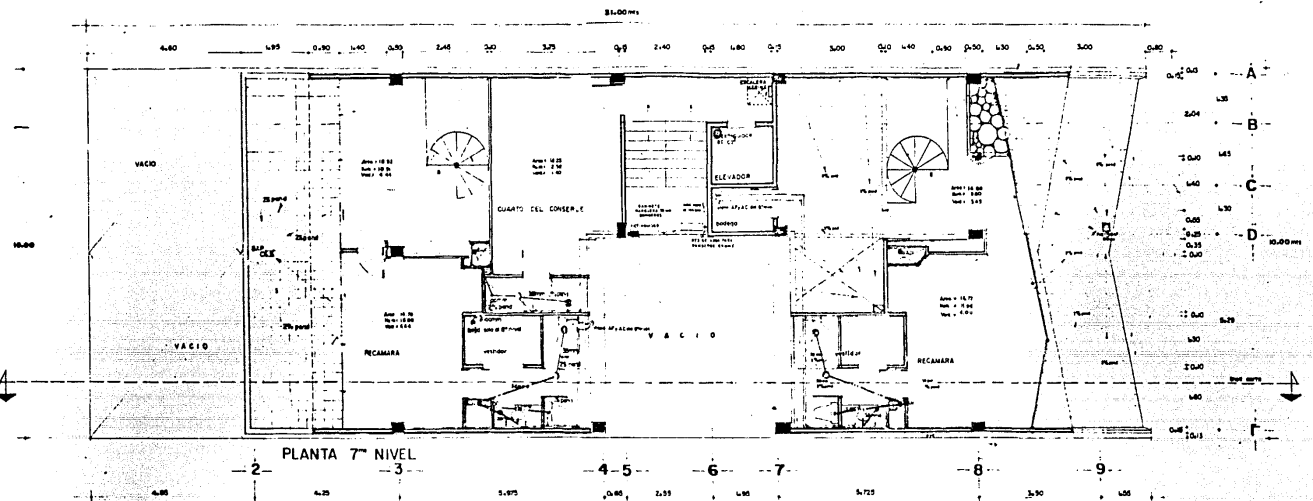
2020 RELEASE UNDER E.O. 14176

TEXAS PROFESSIONAL

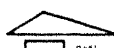
FACULTAD DE INGENIERIA

二〇一九年

PER JÄTTIES VERSOAT PÄRISÄÄN



PLANTA 6º NIVEL



ESTE DIBUJO DE METALACAN, HERMOSA, INTERIOR PROYECTO PARA EL
DEPARTAMENTO DE ARQUITECTURA Y UMA CONTIENE DATOS PROPRIETARIOS
PROTEGIDOS POR DERECHOS DE AUTOR. ESTE DOCUMENTO NO PUEDE SER
REPLICADO, REPARADO, COPIADO, NI SE PUEDE DIFUNDIR SIN EL CONSENTO EXPRESO
Y AUTORIZADO DE LOS AUTORES PARA QUE HAGAN SUS USOS.

DATOS SOBRE AUTORES Y DERECHOS RESERVADOS

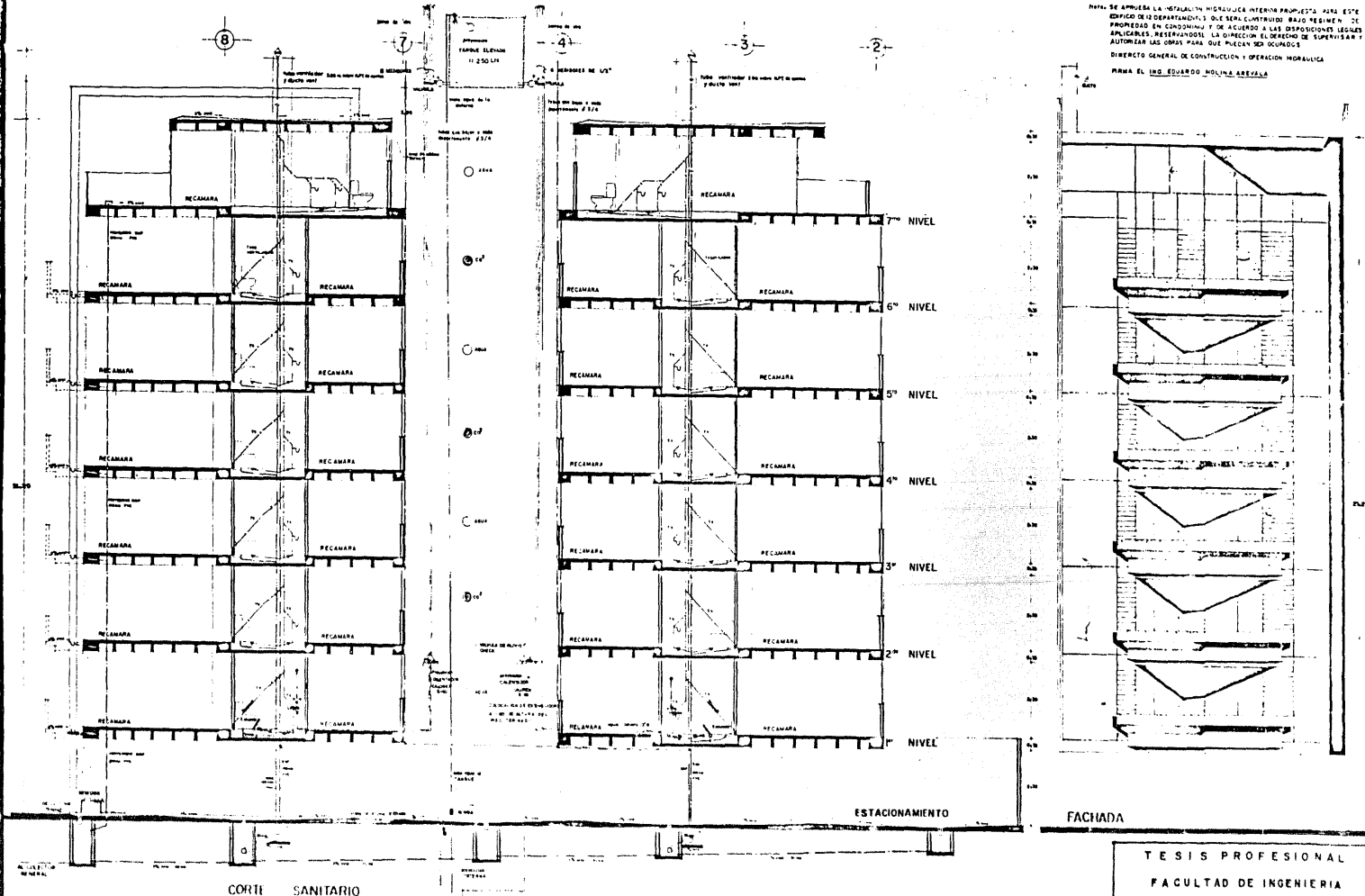
ESTE DIBUJO DE METALACAN, HERMOSA, INTERIOR PROYECTO PARA EL
DEPARTAMENTO DE ARQUITECTURA Y UMA CONTIENE DATOS PROPRIETARIOS
PROTEGIDOS POR DERECHOS DE AUTOR. ESTE DOCUMENTO NO PUEDE SER
REPLICADO, REPARADO, COPIADO, NI SE PUEDE DIFUNDIR SIN EL CONSENTO EXPRESO
Y AUTORIZADO DE LOS AUTORES PARA QUE HAGAN SUS USOS.

TESIS PROFESIONAL

FACULTAD DE INGENIERIA

UNAM

PCO JAVIER VENEGAS BARBAZAN



Nota: SE APROBÓ LA INSTALACIÓN MIGRATORIA INTERNA PROPOSTA PARA ESTE EDIFICIO DE 12 DEPARTAMENTOS, QUE SERÁ CONSTRUIDO BAJO REGIMEN DE PROPIEDAD EN CONDOMINIO Y DE ACUERDO A LAS DISPOSICIONES LEGALES APLICABLES, RESERVANDOSE LA DIRECCIÓN EL DERECHO DE SUPERVISAR Y AUTORIZAR LAS COMAS PARA QUE PUEDAN SER OCUPADOS.

TESIS PROFESIONAL
FACULTAD DE INGENIERIA
UNAM
FCO JAVIER VENEGAS BARRAGAN

cos, al final de este capítulo.

3. TIPO DE ESTRUCTURA.

Los muros, distribuidos en el proyecto Arquitectónico no podrán considerarse como muros de carga ya que, el número de niveles⁽⁸⁾ - del edificio originaría esfuerzos axiales en los muros mayores -- que los permisibles. Por lo tanto estos muros deberán considerarse como muros de relleno (Desligados de la estructura).

Con base en lo anterior, y a la localización de columnas, el sistema de piso que se diseñará estará formado por un entrepiso ali- gerado de 35 cm. de peralte y losas macisas en las zonas de baños- y patios de servicios. Esta solución de entrepiso es conveniente ya que eliminará el uso de falsos plafones para ocultar trabes, - además resultarán alturas menores de entrepiso.

La estructura se idealizará de la siguiente manera:

a) En el sentido largo del edificio una estructura formada con 3- marcos dos de los cuales se contraventearán con diagonales a toda la altura del edificio.

b) En el sentido corto del edificio una estructura formada con 9 marcos.

II. ANALISIS DE CARGAS (PERMANENTES Y EVENTUALES)

II. ANALISIS DE CARGAS (PERMANENTES Y EVENTUALES).

1. ANALISIS DE CARGAS PERMANENTES

1.1 ANALISIS.- El análisis es una fase del diseño donde la intuición y experiencia del ingeniero desempeñan un papel -- primordial, ya que a éste antecede la elección del tipo de estructuración, factor muy importante para la economía -- del proyecto. Los refinamientos posteriores en el dimensionamiento de secciones son de menor importancia. Otro aspecto importante que debemos tomar en cuenta antes de proceder al análisis, es el de las solicitudes a las que va estar sometida la estructura.

Así, el análisis estructural implica un conocimiento de -- las solicitudes que obran sobre la estructura y las dimensiones de sus elementos. Estos datos son imprecisos en un principio, ya que solo se conocen en forma aproximada -- las dimensiones, que tendrán dichos elementos; estas influyen tanto en el valor de peso propio como en el comportamiento estructural del conjunto.

Para llegar a las dimensiones de análisis se tiene que hacer una estimación preliminar.

1.2 ESPECIFICACIONES DE CARGA

1.2.1 PLANTA TIPO (Entrepiso aligerado de 35 cm de peralte). De la distribución del tablero 3-5 y A-E.

$$A = 6.70 \times 4.87 = 32.60 \text{ m}^2; \times 0.35 = 11.41 \text{ m}^3$$

$$\begin{aligned}
 - \text{casetones} &= 0.60 \times 0.60 \times 0.30 \times 33 & = - 3.56 \text{ m}^3 \\
 - 0.60 \times 0.40 \times 0.30 \times 19 & & = - 1.37 " \\
 - 0.40 \times 0.40 \times 0.30 \times 2 & & = - 0.10 " \\
 - 0.20 \times 0.60 \times 0.30 \times 1 & & = - .03 "
 \end{aligned}$$

Total = - 5.06 m³

$$\text{Volúmen concreto} = 11.41 - 5.06 = 6.35 \text{ m}^3$$

$$\text{Volúmen casetones} = 5.06 \text{ m}^3$$

$$\text{Concreto} \quad \frac{6.35}{32.60} \times 2.4 \quad 0.467 \text{ ton/m}^2$$

$$\text{Casetones} \quad \frac{5.06}{32.60} \times 0.6 \quad 0.093 "$$

$$\text{Fino} \quad 0.02 \times 2.2 \quad 0.044 \text{ T/m}^2$$

$$\text{Yeso} \quad 0.015 \times 1.5 \quad 0.023 "$$

$$\text{C. MUERTA } 0.627 \text{ T/m}^2$$

Condición carga vertical:

$$\text{Carga muerta} \quad 0.627 \text{ T/m}^2$$

$$\text{Carga viva} \quad 0.200 "$$

$$\text{C. TOTAL} \quad 0.827 \text{ T/m}^2$$

Condición carga sismo

$$\text{Carga muerta} \quad 0.627 \text{ T/m}^2$$

$$\text{Carga viva} \quad 0.110 "$$

$$0.737 \text{ T/m}^2$$

1.2.2 PLANTA AZOTEA (Aligerado de 35 cm de Peralte).

Concreto		0.467 Ton/m²
Casetones		0.093 "
Relleno	0.10 x 1.0	0.100 "
Enladrillado	0.02 x 1.6	0.032 "
Entortado	0.03 x 8.0	0.060 "
Yeso	0.015 x 1.5	<u>0.023</u> "
		C. MUERTA 0.775 Ton/m²

Condición carga vertical:

carga muerta	0.775 Ton/m²
carga viva	<u>0.100</u> "
C. TOTAL	0.875 Ton/m²

Condición carga sismo:

carga muerta	0.775 Ton/m²
carga viva	<u>0.040</u> "
C. TOTAL	0.815 Ton/m²

1.2.3 MUROS

a) Muros interiores

Muro		0.130 Ton/m²
yeso	0.03×1.5	<u>0.045</u> "
		Total 0.175 Ton/m²

b) Muros de baños con 1 cara azulejo

Muro		0.130 Ton/m²
yeso	0.015×1.5	<u>0.023</u> "
1 Azulejo	0.025×2.0	<u>0.050</u> "
		Total 0.203 Ton/m²

c) Muros de fachada

Muro		0.140 Ton/m²
yeso	0.015×1.5	<u>0.023</u> "
Aplanado	0.025×1.9	<u>0.047</u> "
		Total 0.210 Ton/m²

1.2.4 LOSA DE 10 CM EN ZONAS DE BAÑOS

Losa	0.10×2.4	0.240 Ton/m²
Relleno	0.25×1.0	<u>0.250</u> "
Piso	0.04×2.2	<u>0.088</u> "
Yeso	0.15×1.5	<u>0.023</u> "

C. MUERTA 0.601 Ton/m²

Condición carga vertical

carga muerta	0.601 Ton/m ²
carga viva	<u>0.150</u> "
C. TOTAL	0.751 Ton/m ²

Condición carga sismo

carga muerta	0.601 Ton/m ²
carga viva	<u>0.110</u> "
C. TOTAL	0.711 Ton/m ²

1.2.5 ESCALERAS

Losa	0.12 x 2.4	0.288 Ton/m ²
Relleno	0.08 x 1.6	0.128 "
Escalón	0.06 x 2.0	0.120 "
Yeso	0.015 x 1.5	<u>0.023</u> "
C. MUERTA		0.559 Ton/m ²

Condición carga vertical:

carga muerta	0.559 Ton/m ²
carga viva	<u>0.200</u> "
C. TOTAL	0.759 Ton/m ²

Condición carga sismo

Carga muerta	0.559 Ton/m ²
Carga viva	<u>0.110</u> "
C. TOTAL	0.669 Ton/m ²

1.3 PLANOS DE CARGA

Los planos de carga son de gran ayuda para determinar las cargas en cada uno de los elementos estructurales que componen la estructura. En dichos planos se lleva a cabo la estructuración que como ya dijimos es de gran importancia para lograr economía y seguridad que son algunas de las finalidades que debemos buscar.

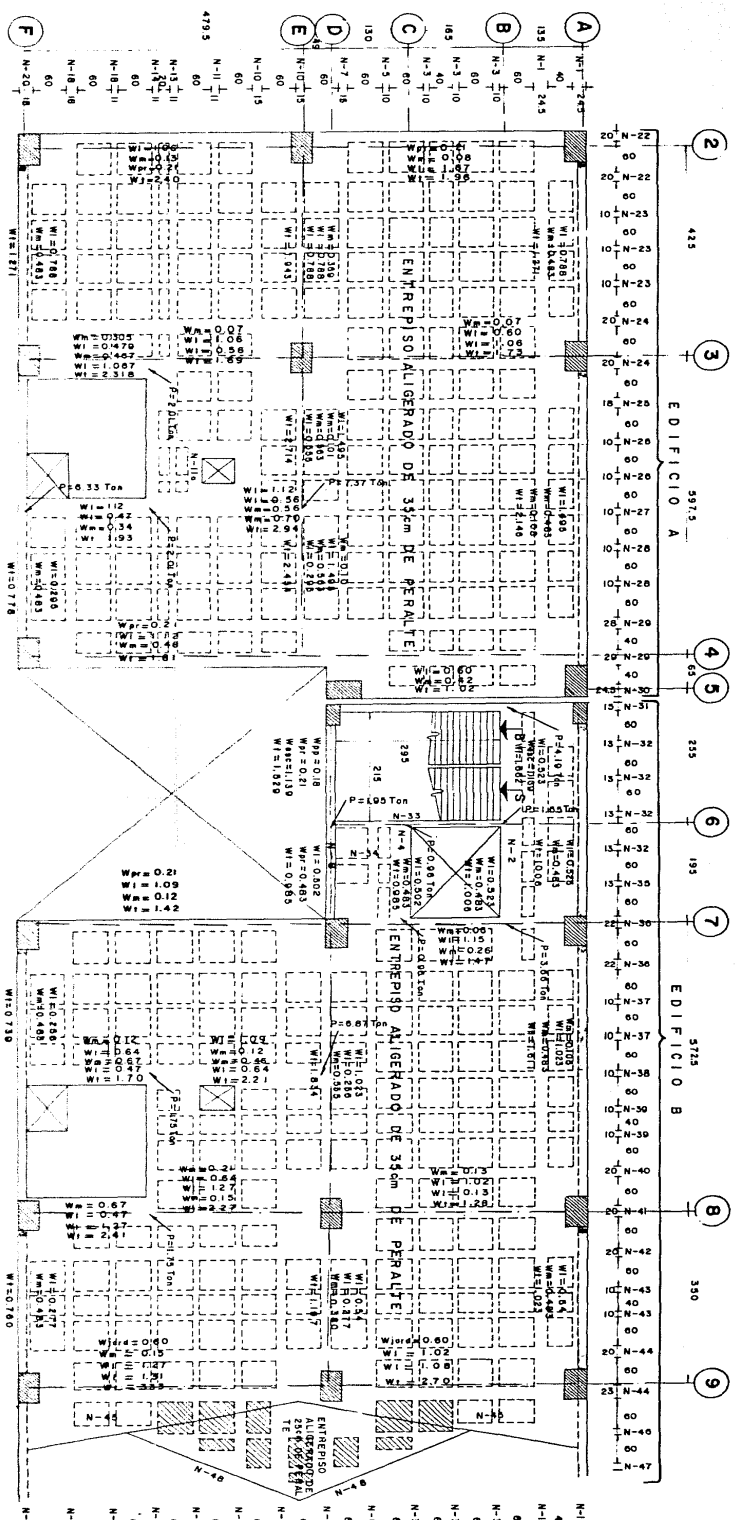
Con las especificaciones de carga se determinarán las cargas en cada elemento estructural del entrepiso por medio de las áreas tributarias a cada una de éstos.

Ver plano de cargas a continuación.

1.4 METODO EMPLEADO

Como se pudo ver en los planos de carga, contamos en el sentido corto del edificio con nueve marcos de cortante plástico y tres en el sentido largo, dos de los cuales se contraventearán en toda su altura.

En la etapa de estructuración se determinó una junta constructiva en la zona de cubo de escaleras ya que en esta zo-



PLANTA TIPO 192^a, 3^a, 4^a, 5^a Y 6^a NIVELES
(PLANO DE CARGAS)

卷之三

Wasc cargo de escoria en Ton/m.
Wpr cargo de yeso en Ton/m.
Wt cargo total en Ton/m.

na el entrepiso se estrangula originándose una sección critica para la trasmisión de los cortantes sísmicos, por lo cual la estructura se analizará como si tuviéramos dos edificios, edificio A y edificio B. (Ver plano de cargas)

Los métodos más empleados para resolver este tipo de estructuras son: El de Rigideces, Flexibilidades y distribución de momentos (Cross ó Kani).

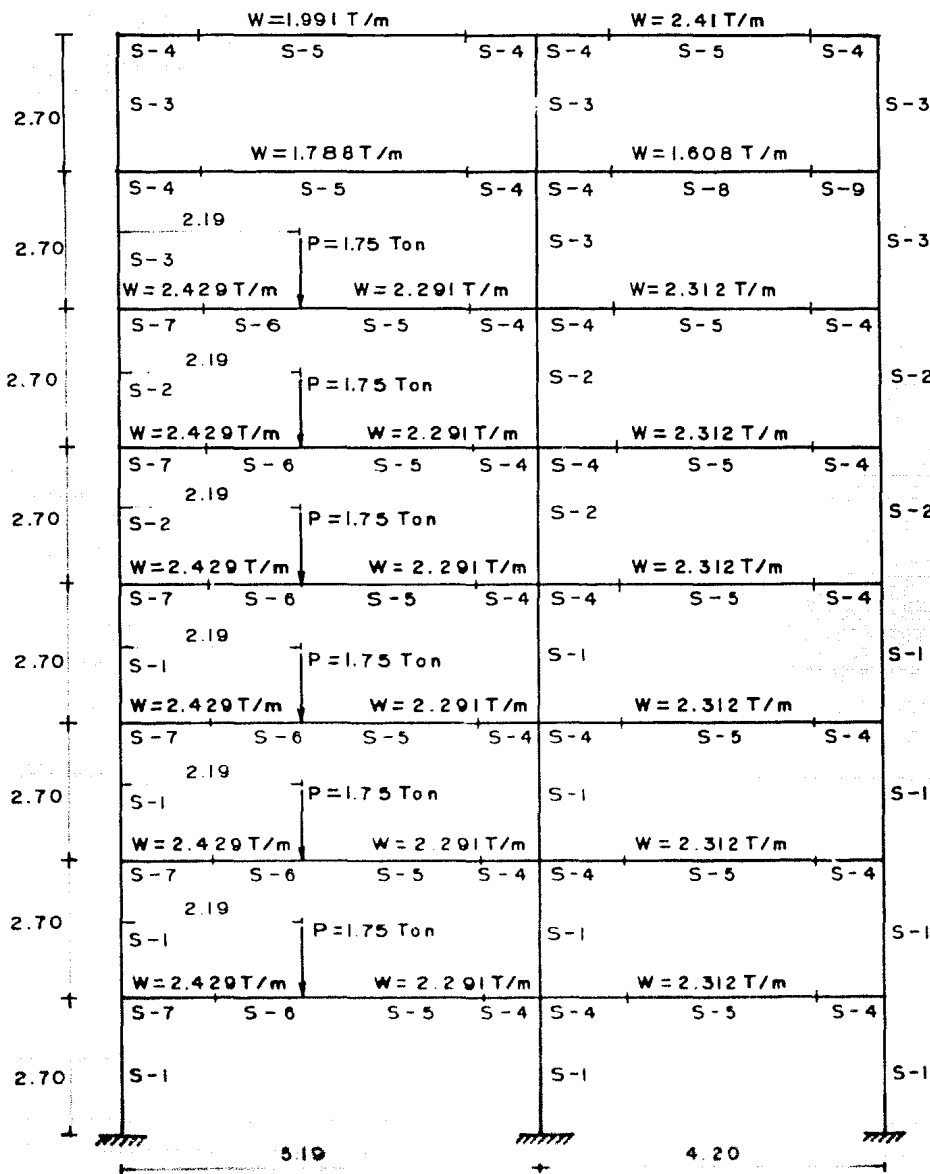
Con la aparición de la computadora el método de rigideces nos ofrece más ventajas.

El análisis de este edificio tanto para cargas verticales como para cargas debidas a sismo se hará empleando un programa para computadora que se basa en el método de rigideces desarrollado por los ingenieros V. Ramón Cervantes B.- y Victor Porras S. de la División de Estudios de Posgrado- de la Facultad de Ingeniería.

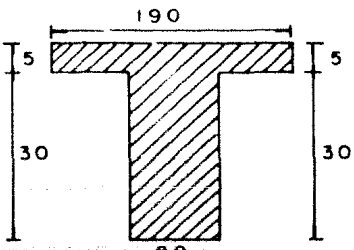
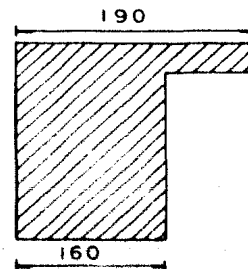
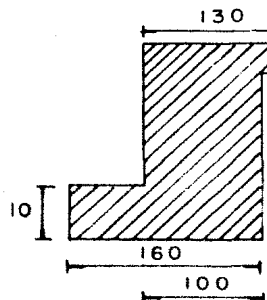
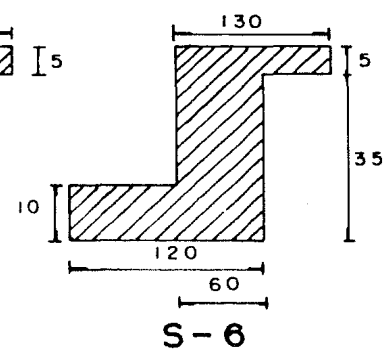
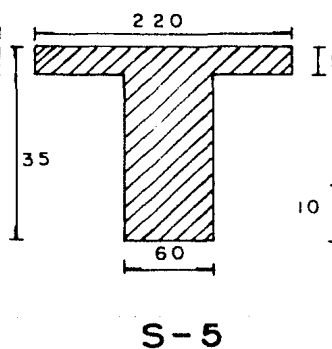
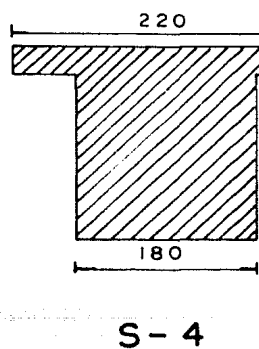
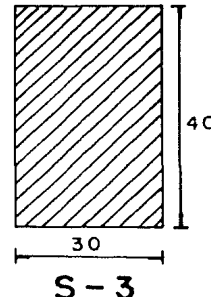
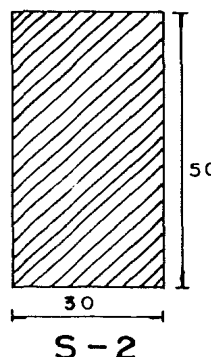
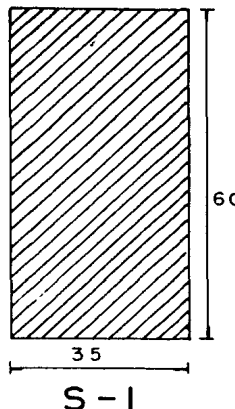
A continuación presento el marco 8 cargado, sus propiedades geométricas, así como los elementos mecánicos obtenidos con el programa de Computadora, el resultado de los de más marcos se obtuvo de la misma forma.

En seguida se muestra el listado del marco 8.

CONDICION DE CARGA VERTICAL Y SECCIONES



PROPIEDADES GEOMETRICAS MARCO 8



ELEMENTOS MECANICOS DEBIDOS A CARGA VERTICAL

	- 1.44	- 6.73 - 6.25	- 0.96	
- 1.44		+ 0.48		- 0.96
+ 1.21	- 2.42	- 5.22 - 0.51 - 4.03	- 1.29	- 0.70
- 1.21		+ 0.69		+ 0.59
+ 1.50	- 3.57	- 8.16 - 0.78 - 6.26	- 1.59	- 0.66
- 2.07		+ 1.12		+ 0.93
+ 1.99	- 3.83	- 8.09 - 1.09 - 6.05	- 1.76	- 0.92
- 1.84		+ 0.96		+ 0.84
+ 1.67	- 4.41	- 7.92 - 0.90 - 5.62	- 2.10	- 0.81
- 2.73		+ 1.39		+ 1.28
+ 2.49	- 4.85	- 7.79 - 1.31 - 5.28	- 2.39	- 1.23
- 2.35		+ 1.20		+ 1.16
+ 2.36	- 4.83	- 7.79 - 1.21 - 5.31	- 2.37	- 1.16
- 2.47		+ 1.28		+ 1.21
+ 2.62	- 4.57	- 7.84 - 1.34 - 5.60	- 2.10	- 1.26
- 1.95		+ 0.89		+ 0.84
+ 0.84		- 0.54		- 0.52

Momentos flexionantes

M ARCO E J E 8

ELEMENTOS MECANICOS DEBIDOS A CARGA VERTICAL

+4.15	(-0.98)	- 6.18	+ 6.32	(- 0.62)	- 3.80		
-0.98			+ 0.36			+0.62	
(-4.15)		(-12.51)			(-3.80)	+0.62	
-0.98	+ 4.10	(-0.02)	- 5.18	+ 0.36 + 4.02	(+0.16)	- 2.72	+0.46
-1.00				+ 0.54			+0.46
(-8.25)		(-21.71)				(-6.52)	+0.46
-1.00	+ 6.30	(-0.50)	- 7.65	+ 0.54 + 5.97	(-0.23)	- 3.74	+0.69
-1.50				+ 0.82			+0.69
(-14.54)		(-35.33)				(-10.27)	+0.69
-1.50	+ 6.36	(+0.20)	- 7.58	+ 0.82 + 5.88	(+0.08)	- 3.83	+0.61
-1.30				+ 0.69			+0.61
(-20.90)		(-48.79)				(-14.10)	+0.61
-1.30	+ 6.50	(-0.64)	- 7.44	+ 0.69 + 5.70	(-0.32)	- 4.01	+0.86
-1.94				+ 1.00			+0.86
(-27.41)		(-48.79)				(-18.12)	+0.86
-1.94	+ 6.61	(+0.19)	- 7.33	+ 1.00 + 5.54	(+0.07)	- 4.17	+0.86
-1.75				+ 0.89			+0.86
(-34.02)		(-74.80)				(-22.29)	+0.86
-1.75	+ 6.61	(-0.14)	- 7.33	+ 0.89 + 5.55	(-0.06)	- 4.16	+0.91
-1.88				+ 0.97			+0.91
(-40.63)		(-87.68)				(-26.44)	+0.91
-1.88	+ 6.55	(+0.85)	- 7.39	+ 0.97 + 5.69	(-0.41)	- 4.02	+0.50
-1.04				+ 0.53			+0.50
(-47.18)		(-100.76)		+ 0.53			+0.50

a) Fuerzas cortantes en barras + 0 -

b) Fuerzas axiales en barras (+ 0 -)

ELEMENTOS MECANICOS DEBIDOS A SISMO

	-0.60	(-0.11)	-0.60	-0.58	(+0.23)	-0.58	
+1.22				+1.67			+1.10
	(+0.60)		(-0.02)			(-0.58)	
+1.22	-1.09	(-0.09)	-1.09	+1.67	-1.20	(-0.00)	-1.20
+1.14				+1.77			+1.11
	(+1.69)		(+0.10)			(-1.79)	
+1.14	-1.26	(-0.15)	-1.26	+1.77	-1.54	(+0.07)	-1.54
+1.48				+2.50			+1.55
	(+2.95)		(+0.38)			(-3.33)	
+1.48	-1.60	(-0.06)	-1.60	+2.50	-2.07	(+0.00)	-2.07
+1.94				+3.08			+2.06
	(+4.55)		(+0.84)			(-5.40)	
+1.94	-1.94	(-0.36)	-1.94	+3.08	-2.66	(+0.19)	-2.66
+2.09				+4.15			+2.38
	(+6.50)		(+1.56)			(-8.05)	
+2.09	-2.23	(-0.06)	-2.23	+4.15	-3.18	(-0.02)	-3.18
+2.44				+4.61			+2.82
	(+8.73)		(+2.51)			(-11.24)	
+2.44	-2.45	(-0.16)	-2.45	+4.61	-3.59	(+0.04)	-3.59
+2.63				+5.15			+3.13
	(+11.17)		(+3.66)			(-14.83)	
+2.63	-2.40	(+0.45)	-2.40	+5.15	-3.58	(-0.24)	-3.58
+3.28				+4.66			+3.58
	(+13.57)		(+4.83)			(-18.41)	
+3.28				+4.66			+3.58

a) Fuerzas cortantes en barras + O -

b) Fuerzas axiales en barras (+ O -)

ELEMENTOS MECANICOS DEBIDOS A SISMO

	+1.74	-1.39 +0.90	-1.55
+1.74		+2.28	+1.55
-1.55	+3.14 -2.51	-2.22 +2.12	-2.95
+1.59		+2.41	+1.53
-1.48	+3.59 -2.94	-2.37 +2.82	-3.63
+2.10		+3.40	+2.16
-1.91	+4.58 -3.72	-3.35 +3.84	-4.84
+2.67		+4.22	+2.83
-2.56	+5.45 -4.64	-4.10 +5.15	-6.01
+2.89		+5.70	+3.27
-2.74	+6.14 -5.43	-5.50 +6.32	-7.04
+3.40		+6.26	+3.89
-3.20	+6.77 -5.93	-6.20 +7.14	-7.94
+3.57		+6.88	+4.21
-3.53	+6.77 -5.72	-7.03 +7.04	-8.00
+3.23		+5.74	+3.76
-5.63		-6.85	-5.90

Momentos flexionantes

MARCO EJE 8

2. ANALISIS DE CARGAS EVENTUALES (SISMICAS)

2.1 SISMOS

Los sismos son producidos por movimientos de la corteza terrestre, los cuales pueden ser ocasionados por la erupción de volcanes, o por el acomodamiento o deslizamiento repentinamente a lo largo de un plano de falla del terreno, a éstos últimos se les llama tectónicos y a los primeros volcánicos.

Los sismos de carácter tectónico son por lo general los que liberan mayor cantidad de energía. En la transmisión de los movimientos, es factor esencial la naturaleza y características del suelo.

La programación del movimiento se realiza mediante ondas que se originan en un punto llamado Foco. El punto sobre la superficie directamente encima del Foco se designa Epicentro ó epifoco. La energía cinética de la onda es menor a medida que se aleja del Foco.

2.2 METODOS DE ANALISIS SISMICOS

1. Método estático
2. Método dinámico

2.2.1 Método estático

2.2.1.1 Introducción

Se determinarán las expresiones que caracterizan a este método en particular. La razón del nombre se debe a que originalmente, en la determinación de las expresiones para cuantificar las fuerzas correspondientes, no eran necesarias las características dinámicas de la estructura en cuestión.

2.2.1.2 Hipótesis básicas

Las hipótesis que caracterizan a este método son:

- a) La distribución de aceleraciones en la estructura, provocada por el temblor de diseño, es lineal con la altura (ver fig 2.1)
- b) Las aceleraciones generadas por el temblor de diseño, se determinarán mediante la siguiente expresión:

$$\frac{V}{w} = \frac{C}{Q} \quad (2.1)$$

en donde para una estructura en particular, los elementos de la ec 2.1 resultan ser

$$v = \sum_{i=1}^n F_i \quad (2.2)$$

donde n indica el número de niveles en que se idealiza la estructura, y F_i la fuerza de inercia horizontal correspondiente al nivel i -ésimo, cuyo peso se indica como w_i .

En la ec 2.2, V resulta ser la fuerza cortante en la base

del edificio

$$W = \sum_{i=1}^n w_i \quad (2.3)$$

c Coeficiente sísmico, valor experimental definido en algún reglamento.

Q Factor de ductilidad, también es un valor experimental - definido por algún reglamento.

2.2.1.3 Fuerzas sísmicas

Una vez definidas las aceleraciones \ddot{x}_i , a que estan sometidas las masas m_i que definen a la estructura en cuestión, las fuerzas correspondientes F_i , de acuerdo con la segunda ley de Newton quedarán indicadas como

$$F_i = m_i \ddot{x}_i \quad (2.4)$$

en donde

$$m_i = \frac{w_i}{g} \quad (2.5)$$

al sustituir la ec 2.5 en la ec 2.4 se obtiene

$$F_i = \frac{w_i}{g} \ddot{x}_i \quad (2.6)$$

De la fig 2.1 se obtiene la siguiente relación geométrica

$$\frac{\ddot{x}_i}{\ddot{x}_N} = \frac{h_i}{h_N} \quad (2.7)$$

de la ec 2.7 se obtiene

$$\ddot{x}_i = \frac{\ddot{x}_N}{h_N} h_i \quad (2.8)$$

al sustituir la ec 2.8 en la ec 2.6 se obtiene

$$F_i = \frac{\ddot{x}_N}{gh_N} w_i h_i \quad (2.9)$$

Con la ec 2.9 se pueden determinar el cortante V , por la ec 2.2 y resulta ser

$$V = \frac{\ddot{x}_N}{gh_N} \sum_{i=1}^n w_i h_i \quad (2.10)$$

Al sustituir las ecs 2.3 y 2.10 en la ec 2.1 se obtendrá la ecuación siguiente

$$\frac{\ddot{x}_N}{gh_N} \frac{\sum_{i=1}^n w_i h_i}{\sum_{i=1}^n w_i} = \frac{C}{Q} \quad (2.11)$$

de donde se podrá calcular el valor de \ddot{x}_N , es decir

$$\ddot{x}_N = \frac{C}{Q} gh_N \frac{\sum_{i=1}^n w_i}{\sum_{i=1}^n w_i h_i} \quad (2.12)$$

Conocida la aceleración en el nivel superior de la estructura (ec 2.12), se podrán conocer las aceleraciones de los

niveles restantes y las fuerzas correspondientes al sustituir la ec 2.12 en las ecs 2.8 y 2.9, obteniéndose

$$\ddot{x}_i = \frac{c}{Q} g h_i \frac{\sum_{i=1}^n w_k}{\sum_{i=1}^n w_k h_k} \quad (2.13)$$

$$F_i = \frac{c}{Q} w_i h_i \frac{\sum_{i=1}^n w_k}{\sum_{i=1}^n w_k h_k} \quad (2.14)$$

2.2.1.4 Reducción de las Fuerzas sísmicas

Cuando una estructura se analiza por el método estático, la ref 2, permite reducciones al coeficiente del cortante en la base (ec 2.1) de acuerdo con la forma de los espectros de diseño (ver fig 2.2). Para estructuras tipo 1, (ver reglamento del D.F. 1976) la variación se supone lineal, para períodos menores de T_2 , modificándose la ec 2.14 como se indica a continuación

$$F_i = c'q \frac{\sum_{i=1}^n w_i}{\sum_{i=1}^n w_i h_i} \quad \text{y } T \leq T_1 \quad (2.15)$$

en donde

$$c'q = \frac{a_0 + (C - a_0) T/T_1}{1 + (Q-1) T/T_1}$$

donde T es el período fundamental de vibración de la estructura en cuestión.

Cuando T está comprendido entre T_1 y T_2 , no existe reducción en las fuerzas.

Cuando T es mayor que T_2 , la valorización del coeficiente del cortante en la base se considera igual a la ordenada del espectro multiplicada por un factor igual a 1 para T igual a T_2 y que tiende a 1.5 cuando T tiende a infinito. La ec 2.14 quedará

$$F_i = \frac{C}{Q} \left(\alpha h_i \frac{\sum_{i=1}^n w_k}{\sum_{i=1}^n w_k h_k} + \beta h_i^2 \frac{\sum_{i=1}^n w_k}{\sum_{i=1}^n w_k h_k^2} \right) w_i \quad (2.17)$$

en donde

$$\alpha = |1 - \gamma(1-q)| \quad (2.18)$$

$$\beta = 1.5 \ r q (1-q) \quad (2.19)$$

$$q = \left(\frac{T_2}{T} \right)^r \quad (2.20)$$

la estimación del período fundamental de vibración de la estructura, para operaciones con calculadora de escritorio se puede hacer a partir del cociente de Schwartz, - - - - -

$$2\pi \left[\frac{1}{q} \frac{\sum_{i=1}^n w_i x_i^2}{\sum_{i=1}^n F_i x_i} \right]^{1/2} \quad . \text{Este cociente sirve para calcular en}$$

forma rigurosa el período natural de vibración cuando las x_i son las amplitudes de las masas en el modo de interés. Entonces el período fundamental de vibración de la estructura será.

$$T = 2\pi \left[\frac{1}{g} \frac{\sum_{i=1}^n w_i x_i^2}{\sum_{i=1}^n F_i x_i} \right]^{1/2}$$

Cuando el período que interesa es el fundamental, los valores de x_i se pueden obtener mediante la organización expresada en la fig 2.3, en donde el sistema de fuerzas iniciales horizontales que se utiliza es el especificado en la ec 2.14.

En el caso de utilizarse una computadora, el período fundamental de vibración se determinará con algún método numérico eficiente por ejemplo el de Jacobi.

2.2.2 EFECTO DE TORSION

En general en un nivel cualquiera, no coincidirá la resultante de las fuerzas producida por el sismo con la resultante de las fuerzas resistentes del entrepiso. La fuerza sísmica actúa en el centro de gravedad de las masas en cada piso. Esto produce un par de torsión el cual deberán resistir los elementos estructurales.

El centro de torsión se puede obtener como el centroide de los elementos resistentes, se puede definir por medio de las siguientes expresiones:

$$\bar{x}_{ct} = \frac{\sum R_{iy} x_i}{\sum R_{iy}}$$

$$\bar{y}_{ct} = \frac{\sum R_{ix} y_i}{\sum R_{ix}}$$

R_{iy} = Rigidez de cada elemento resistente del entrepiso
orientados según el eje "y".

R_{ix} = Rigidez de cada elemento resistente del entrepiso
orientado según el eje "x"

A la excentricidad calculada debe adicionarse una excen-
tricidad accidental especificada por algún reglamento.

La excentricidad de diseño especificada según el reglamento
de D.F. 1976.

$$e_d = \begin{cases} 1.5e(x \delta y) + 0.10 L & e_x = \bar{x}_{ct} - \bar{x}_{cg} \\ e(x \delta y) - 0.10 L & e_y = \bar{y}_{ct} - \bar{y}_{cg} \end{cases}$$

Donde "e" es la excentricidad calculada como la distancia
entre la línea de acción del cortante y el centro de tor-
sión y "L" es la mayor dimensión de la planta considerada
del edificio medida perpendicularmente a la dirección des-
mismo. El signo deberá tomarse en cada marco en tal forma
que dé lugar a los máximos elementos mecánicos.

e_d = excentricidad de diseño, se deberá tomar la más desfa-
vorable.

Los momentos torsionantes serán

$$M_{tx} = v_x e_{dy}$$

$$M_{ty} = v_y e_{dx}$$

2.2.3 Análisis dinámico

2.2.3.1 Introducción

Las ecuaciones de equilibrio dinámico de una estructura de comportamiento lineal se pueden escribir como (ref 3)

$$\underline{M} \ddot{\underline{x}}(t) + \underline{c} \dot{\underline{x}}(t) + \underline{k} \underline{x}(t) = \underline{f}(t) \quad (3.1)$$

en donde M, c y k son las matrices de masas, de amortiguamiento, y de rigideces, respectivamente, de la estructura; $\ddot{\underline{x}}$, $\dot{\underline{x}}$ y \underline{x} son los vectores de aceleraciones, de velocidades y de desplazamientos, respectivamente, de la estructura, sometida a las cargas representadas por el vector f.

Las matrices M, c y k son constantes y para una estructura en particular dependerán de la distribución de sus masas, de su geometría y del material que la constituye una vez que la estructura se ha definido, las matrices anteriores quedan definidas.

El modelo matemático dado por la ec 3.1 corresponde a un

sistema de ecuaciones diferenciales ordinarias de segundo-
orden, lineales, de coeficientes constantes, no homogéneo.

Debido a que para un temblor, la función f resulta tener una variación similar a la de los acelerogramas registrados en la base, los métodos recomendables para integrar -- las ecs 3.1 son los numéricos paso a paso. Los métodos numéricos paso a paso que actualmente se están utilizando-los directos y el de superposición modal. En los métodos-
directos se requiere conocer los acelerogramas que repre-
sentan el temblor de diseño queda representado también o -
bien por un espectro de respuesta, ya que se combina con -
un criterio probabilístico para obtener respuestas máximas.
Debido a que en los reglamentos siempre queda especificado el espectro de diseño del temblor, se considerán en este -
capítulo las fuerzas sísmicas obtenidas con el método de -
superposición modal, combinadas por un criterio probabilís-
tico.

2.2.3.2 Método de superposición modal

Este método consiste en desacoplar las ecuaciones de movimiento del sistema (ecs 3.1), al transformarlas a las -- coordenadas definidas por los valores característicos, de-
nominadas también sistema de referencia natural de la es-
tructura, en donde las ecuaciones resultan enteramente si-
milares a las de los sistemas de un grado de libertad.

Debido a lo anterior, primero se deberá resolver el problema de valores característicos asociado a la ec 3.1 que - se puede escribir mediante la ecuación siguiente

$$\underline{k} \underline{r}_i = p_i^2 \underline{M} \underline{r}_i \quad (3.2)$$

en donde p_i^2 son valores característicos (cuadrado de las frecuencias naturales de vibración), correspondientes a los vectores característicos \underline{r}_i (denominados también configuraciones naturales de vibración, formas modales o modos).

La solución del modelo matemático dado por la ec 3.2 proporciona tantos vectores \underline{r}_i , como grados de libertad tiene la estructura (indicado por el número de niveles, N , en la fig 2.1). Al ordenarlos en forma ascendente, de acuerdo con los valores p_i^2 , se pueden agrupar en forma matricial, dando lugar a la matriz \underline{R} , de tal manera que la i -ésima columna estará formada por el vector característico \underline{r}_i , asociado al valor característico p_i^2 . La matriz modal, \underline{R} , forma un espacio vectorial, al cual se transformará la ec 3.1 mediante la siguiente ley de transformación.

$$\underline{x} = \underline{R} \underline{y} \quad (3.3)$$

al derivar respecto al tiempo la ec 3.3 se obtiene

$$\dot{x} = R \dot{y} \quad (3.4)$$

$$\ddot{x} = R \ddot{y} \quad (3.5)$$

Al sustituir las ecs 3.3 a 3.5 en la ec 3.1 se obtiene

$$\underline{M} \underline{R} \ddot{y} + \underline{c} \underline{R} \dot{y} + \underline{k} \underline{R} y = \underline{f} \quad (3.6)$$

Premultiplicando por \underline{R}^T la ec 3.6 se obtiene

$$\underline{R}^T \underline{M} \underline{R} \ddot{y} + \underline{R}^T \underline{c} \underline{R} \dot{y} + \underline{R}^T \underline{k} \underline{R} y = \underline{R}^T \underline{f} \quad (3.7)$$

que puede escribirse como

$$\underline{M}^* \ddot{y} + \underline{c}^* \dot{y} + \underline{k}^* y = \underline{f}^* \quad (3.8)$$

en donde

$$\underline{M}^* = \underline{R}^T \underline{M} \underline{R} \quad (3.9)$$

$$\underline{c}^* = \underline{R}^T \underline{c} \underline{R} \quad (3.10)$$

$$\underline{k}^* = \underline{R}^T \underline{k} \underline{R} \quad (3.11)$$

$$\underline{f}^* = \underline{R}^T \underline{f} \quad (3.12)$$

Las matrices \underline{M}^* y \underline{k}^* resultan ser diagonales debido a la propiedad de ortogonalidad de los modos respecto a las matrices de masas y rigideces. Si la matriz de amortiguamiento se selecciona para que \underline{c}^* resulte también diagonal se logrará que el sistema de ecuaciones de equilibrio, en la referencia natural esté desacoplado. El sistema desacopla-

do se podrá escribir como las N ecuaciones de equilibrio siguientes, asociadas a cada modo de vibración.

$$M^* \ddot{y}_i + c^* \dot{y}_i + k^* y_i = f_i^* \quad (3.13)$$

los coeficientes de la ec 3.9 están definidos por las ecuaciones 3.9 a 3.12, y sus expresiones explícitas resultan ser

$$M_i^* = \sum_{i=1}^n m_j r_{ji}^2 \quad (3.14)$$

$$c_i^* = 2 \zeta p_i m_i^* \quad (3.15)$$

$$k_i^* = 2 m_i^* p_i^2 \quad (3.16)$$

$$f_i^* = \sum_{i=1}^n f_j r_{ji} \quad (3.17)$$

donde r_{ji} es el j -ésimo componente del modo i -ésimo y ζ la fracción de amortiguamiento crítico del mismo modo. La solución de la i -ésima ecuación diferencial dada por la ec 3.13 resulta ser (ref 5)

$$y_i(t) = \frac{1}{p_i m_i^*} \int_0^t f_i^*(\zeta) e \times n \left[-p_i \zeta (t-\tau) \right] \sin p_{ai}(t-\tau) dt \quad (3.18)$$

donde p_{ai} es la frecuencia amortiguada para el modo i -ésimo, definida por la ec. siguiente

$$p_{ai} = p_i \sqrt{1 - \zeta_i^2} \quad (3.19)$$

para el caso en que el vector \underline{f} de la ec 3.1 esté definido por las fuerzas debidas a un temblor, el componente i -ésimo se podrá escribir como (ref 4)

$$f_i = -m_i \ddot{u}_g(t) \quad (3.20)$$

donde $\ddot{u}_g(t)$ es la función que representa al acelerograma del temblor, en la base de la estructura (ver fig 3.1).

Al sustituir las ecs 3.14 a 3.16 y 3.20 en la ec 3.18 se obtendrá

$$y_i(t) = -\frac{c_i}{p_i} \int_0^t \ddot{u}_g(\tau) \times p \left[- \left(p_i \zeta_i (t-\tau) \right) \right] \sin p_{ai}(t-\tau) dt \quad (3.21)$$

donde c_i , conocido con el nombre de coeficiente de participación del modo i , está dado por

$$c_i = \frac{\sum_{j=1}^n m_j r_{ji}}{\sum_{j=1}^n m_j r_{ji}^2} \quad (3.22)$$

De acuerdo con los desarrollos anteriores, el vector solución \underline{y} , en la referencia natural, se obtendrá con la ec 3.21, para cada modo. El vector que interesa es el x que se obtendrá con la ec 3.3.

La forma de cuantificar las ecs 3.13 sería utilizando alguno de los métodos numéricos existentes (por ejemplo el - Beta de Newmark, los Runge-Kutta, Theta de Wilson, etc.). -

La forma de lograr la integración de dichas ecuaciones --- (ecs 13) es la que le da el carácter paso a paso.

2.2.3.3 Espectros de respuesta.

El valor máximo de la respuesta y_i , en la ec 3.21 se podrá calcular mediante la expresión siguiente

$$\left| y_i \right|_{\max} = c_i D_i \quad (3.23)$$

Donde D_i se conoce con el nombre de ordenada del espectro de desplazamientos, cuya expresión es

$$D_i = \left| \frac{1}{P_i} \int_0^t \ddot{u}_g(\tau) e \times p \left[-p_i \zeta(t-\tau) \right] \sin p_{ai}(t-\tau) d\tau \right|_{\max} \quad (3.24)$$

como puede observarse en la ec 3.24, el valor de las ordenadas del espectro de respuesta, depende del acelerograma - del temblor, del amortiguamiento ζ y de la frecuencia p - o bien del período T , calculado mediante la ec 3.24, para un temblor dado, usando como variables el período T y el amortiguamiento ζ , recibe el nombre de espectro de respuesta de desplazamientos. (ref 6)

$$T = \frac{2\pi}{p} \quad (3.25)$$

También se definen los conceptos de seudo espectros de velocidad, V , y de aceleración, A , mediante las expresiones siguientes (ref 6)

$$V = p D \quad (3.26)$$

$$A = p^2 D \quad (3.27)$$

al combinar las ecs 3.26 y 3.27 se obtienen las relaciones entre los espectros de respuesta, es decir

$$A = p V = p^2 D \quad (3.28)$$

2.2.3.4 Respuesta máxima probable

De acuerdo con la ec 3.28, la ec 3.23 se puede escribir como

$$\left| y_i \right|_{\max} = c_i D_i = \frac{c_i V_i}{p_i} = \frac{c_i A_i}{p_i^2} \quad (3.29)$$

tomando en cuenta que x , es el vector de desplazamientos- que interesa cuantificar, se deberá utilizar la ec 3.3, quedando

$$x_i = \sum_{j=1}^n r_{ij} y_j = \sum_{j=1}^n x_{ij} \quad (3.30)$$

donde x_{ij} representa el desplazamiento de la masa i de-

bido al modo j . El valor máximo de x_{ij} se puede calcular usando la ec 3.29, es decir

$$\left| x_{ij} \right|_{\max} = \left| r_{ij} y_i \right|_{\max} = r_{ij} \left| y_j \right|_{\max} = c_j r_{ij} D_j \quad (3.31)$$

al sustituir las ecs 3.26 y 3.27 en la ec 3.31 se obtendrán las expresiones siguientes

$$\left| x_{ij} \right|_{\max} = c_j r_{ij} \frac{v_i}{p_i} \quad (3.32)$$

$$\left| x_{ij} \right|_{\max} = c_j r_{ij} \frac{\lambda_i}{p_i^2} \quad (3.33)$$

Llevando el valor máximo probable de x_i en la ec 3.30 se puede expresar como

$$\left| x_i \right|_{\max} = \sqrt{\sum_{i=1}^n \left| x_{ij} \right|_{\max}^2} \quad (3.34)$$

al sustituir la ec 3.31 en la ec 3.32 y esta en la ec --- 3.34 se obtiene

$$\left| x_i \right|_{\max} = \sqrt{\sum_{i=1}^n \left(c_j r_{ij} D_j \right)^2} \quad (3.35)$$

Los componentes del vector de aceleraciones \ddot{x} , se determinan en forma similar al vector de desplazamientos, por lo cual teniendo en cuenta la relación siguiente

$$\left| \ddot{x}_{ij} \right| = p^2 \left| x_{ij} \right| \quad (3.36)$$

siguiendo el criterio anterior tenemos

$$\left| \ddot{x}_i \right|_{\max} = \sqrt{\sum_{i=1}^n \left| \ddot{x}_{ij} \right|_{\max}^2} = \sqrt{\sum_{i=1}^n \left| p_j^2 x_{ij} \right|_{\max}^2} \quad (3.37)$$

Al sustituir las ecs 3.31 a 3.35 en la ec 3.37 se obtienen las expresiones siguientes

$$\left| \ddot{x}_i \right|_{\max} = \sqrt{\sum_{j=1}^n \left(c_j r_{ij} p_j^2 D_j \right)^2} \quad (3.38)$$

$$\left| \ddot{x}_i \right|_{\max} = \sqrt{\sum_{i=1}^n \left(c_j r_{ij} p_j v_j \right)^2} \quad (3.39)$$

$$\left| \ddot{x}_i \right|_{\max} = \sqrt{\sum_{j=1}^n \left(c_j r_{ij} A_j \right)^2} \quad (3.40)$$

Conocida la aceleración máxima a que esta sometida cada masa de la estructura, se podrá calcular la fuerza máxima probable, mediante la segunda ley de Newton.

$$\left| F_i \right|_{\max} = m_i \left| \ddot{x}_i \right|_{\max} = \frac{w_i}{g} \left| \ddot{x}_i \right|_{\max} \quad (3.41)$$

Al sustituir las ecs 3.38 a 3.40 en la ec 3.41 se obtienen las expresiones de las fuerzas de inercia provocadas por una aceleración máxima probable de la masa en cuestión, provocada por un temblor de diseño, definido por sus correspondientes espectros de diseño.

$$\left| F_i \right|_{\max} = \frac{w_i}{g} \sqrt{\sum_{j=1}^n \left(c_j r_{ij} p_j^2 D_j \right)^2} \quad (3.42)$$

A PARTIR DE

ESTA PAGINA

FALLA DE
ORIGEN

LEATHER PLATES 115

INSTRUMENTOS Y MATERIALES
10. Nro. 01 ALICHADE PAPAS DE LLEVAR
15. Nro. 02 ALICHADE PAPAS DE LLEVAR Y HUEVOS
20. Nro. 03 ALICHADE PARA LAS CALIGAS DE TELERIAS
25. Nro. 04 ALICHADE PARA CALIGAS
30. Nro. 05 ALICHADE PARA TRAJES DE SECCIONES VARIABLES

1. PROBLEMAS DE ESTRUCTURAS FUERTEMENTE ALIJAZADAS

141-CC 2 JE 8 (LFBLC1C)

CONSTANTES LUMÍNICAS DE LOS FATERIALES
MATERIALES HERDADOS EN LAS CINAS CLÍNICAS PLISADAS VOLVIMÉTRICO
(CTC/111-3)

1412-3331(200003)15:2;1-5

1 1412133201 2015 3-186

885 2400

Digitized by srujanika@gmail.com

P A B A N E T I T S O C L E F I T I L A S S S E C C

1110 *1110* *1110*

[View Details](#) | [Edit](#) | [Delete](#)

~~ALL INFORMATION CONTAINED~~

www.ijerph.org | ISSN: 1660-4601 | DOI: 10.3390/ijerph17030897

4 CAPITAL

5	AI, ULLU	(I, I, V, T)
6	U, ULLU, A,	(I,)
7	LA, ULI,	(I, I, V, T)
8	L, ULLU, HUECA	(I, I, V, T)
9	I, U	(I, I, V, T, C)
10	LA, U	(I, I, I, V, T, C, I)
11	LA, U	(I, I, I, V, T, C, I)

Digitized by

SPECTRO TRANSVERSAL. E-1 VENTILAS SECCIONES TRANSVERSALES

SECTION TRANSVERSAL * 1-1 ** V SECTION TRANSVERSAL ** C P SECT. C.I.
 NO. TYPE FORMA (C) (L) (C) (C) (CM) (C) (C) (C)
 1 1 FFCFAI 1.00 35.00
 2 1 FFCFAI 1.00 35.00
 3 1 FFCFAI 1.00 35.00
 4 2 FFCFAI 1.00 35.00 186.00 1.00
 5 2 FFCFAI 1.00 35.00 66.00 1.00
 6 7 ZFTA 1.00 35.00 66.00 1.00 130.00 1.00
 7 8 ZFTA 1.00 35.00 66.00 1.00 130.00 1.00
 8 9 AMFUD 1.00 35.00 66.00 1.00

PROPIEDADES DE LAS SUCURSLES TRANSVERSALES
SPECIALES TRANSVERSALES A LA ZONA SUR, ALICANTE, CLIE

WEDNESDAY — **X** — **--** **Y** — **--** **Z** — **--** **WEDNESDAY** — **X** — **--** **Y** — **--** **Z** — **--**

1
4
7
13
16
19
22
25

३०

12. AILIL LL SEMBANLA LL LA PATIZZ CL RICIECLS

LAWLESS & RIGIDCLS CL ENTERPRISE , EYL B

NUEFRACION. LL. LOS NUGOS CORTANILLOS EN EL RÍO MIRAL. NE.

22	23	24	
19	20	21	2
16	17	18	3
13	14	15	4
10.	11	12	5
7	8	9	6
4	5	6	7
1	2	3	8

NIVEL Nro.	ESTADOS NOLALES	ESTADOS NOLALES
1	2.766	1.712
2	1.666	1.712
3	1.666	1.712
4	1.666	1.712
5	1.333	1.712
6	1.333	1.712
7	1.333	1.242
8	21.000	14.300

COEFFICIENTS OF CO₂ = 0.100

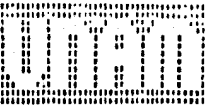
HIGHSPECS LL L,T,E,P,T,J,L,T,L/I/I
3.518UE+032.553L+032.553LL+032.5123L+031.7516L+CJ1.7308L+C31.50141+C31.53751+03

ALLÍLILS, PERMANENTES Y VARIABLES (CARGAS FUERTA Y VIVA)

1. P.D. EL CLASIFICACION DEL CARGA
16. P.D. LAS LARGAS CARAVANAS
6. P.D. LAS FLORES CARAVALLA
DINICITALIA, LAS FUERZAS LE CULPILE GESII TENG
P.D. LAS LARGAS INTELIGENCIAS ACTUALITAS

PTU,NGO.	H	G	F	T	L	U	R	A	L	S	STRUCTURE (I)	
											V	L
1											1.65051774L-07	6.072034L-04
2											1.514415L-03	9.069316L-05
3											1.577374L-03	3.714626L-04
4											3.421175L-03	4.334102L-04
5											3.421175L-03	2.027232L-04
6											3.421175L-03	9.069316L-05
7											3.371462L-03	7.303175L-04
8											3.371462L-03	7.303175L-04
9											3.371462L-03	7.303175L-04

12	8.446664	-1.24
13	8.476664	-1.24
14	8.476664	-1.24
15	6.104664	-1.24
16	4.112664	-1.24
17	4.242664	-1.24
18	4.242664	-1.24
19	2.576664	-1.24
20	6.116664	-1.25
21	9.465764	-1.25



BARRA NO.	EXTRACCION INICIAL		EXTRACCION FINAL		CANTIDAD DE FLEXIBILITE		EXTRACCION INICIAL		EXTRACCION FINAL		CANTIDAD DE FLEXIBILITE	
	I	J	P	M	A	L	C	T	N	H	G	M
1	1	2	-0.94464		4.14703		-1.44574		-0.94464		-1.0476	-6.73756
2	6	5	-0.92164		4.16534		-2.42877		-0.9193		-1.7871	-5.27338
3	10	11	-0.90264		4.18291		-3.43329		-0.893		-2.4671	-4.6423
4	16	17	-0.89264		4.19672		-4.40779		-0.873		-3.1277	-4.0027
5	22	21	-0.88264		4.20531		-5.47549		-0.851		-3.1936	-3.79456
6	5	23	-0.87264		4.21754		-6.54549		-0.827		-3.170	-3.72889
7	12	13	-0.86264		4.22217		-7.61754		-0.802		-3.126	-3.54256
8	14	15	-0.85264		4.22879		-8.68176		-0.776		-3.147	-3.20209
9	20	21	-0.84264		4.23647		-9.74653		-0.747		-3.174	-2.91000
10	26	25	-0.83264		4.24511		-10.80616		-0.717		-3.162	-2.69661
11	32	31	-0.82264		4.25471		-11.8604		-0.686		-3.126	-2.48924
12	38	37	-0.81264		4.26531		-12.9184		-0.655		-3.119	-2.28551
13	44	43	-0.80264		4.27682		-13.9704		-0.624		-3.146	-2.08408
14	50	49	-0.79264		4.28832		-14.9254		-0.593		-3.173	-1.88460
15	56	55	-0.78264		4.30083		-15.8734		-0.562		-3.197	-1.68412
16	62	61	-0.77264		4.31333		-16.8144		-0.531		-3.214	-1.48362
17	68	67	-0.76264		4.32684		-17.7484		-0.500		-3.174	-1.28314
18	74	73	-0.75264		4.34034		-18.6754		-0.469		-3.147	-1.08267
19	80	79	-0.74264		4.35485		-19.5954		-0.438		-3.126	-8.8489
20	86	85	-0.73264		4.36935		-20.5084		-0.407		-3.103	-1.5502
21	92	91	-0.72264		4.38385		-21.3144		-0.376		-3.083	-2.0087
22	98	97	-0.71264		4.39835		-22.1134		-0.345		-3.063	-2.54553
23	104	103	-0.70264		4.41285		-22.8954		-0.314		-3.044	-3.04035

EDIFICIO PLATON # 115

10 INICIOS DE LOS ELEMENTOS EL LLEVANTOS Y ESTRUCTURA
 10 NO. DE ARCHIVO PARA ELEMENTOS
 10 NO. DE ARCHIVO PARA LAS ELEMENTOS Y MOMENTOS
 10 NO. DE ARCHIVO PARA CALIFICAIS INTERNAS
 50 NO. DE ARCHIVO PARA TRAMES DE SECCION VARIABLE

1 NO. DE ESTRUCTURAS PARA ANALIZAR

MARCA LJE = 8 (CCEFECHC)

- 48 NO. DE ELEMENTOS
 72 NO. DE ELEMENTOS DE MATERIAL
 27 NO. DE POLÍTICAS DE LA ESTRUCTURA
 0 NO. DE PLÁTILLOS
 99 NO. DE PLÁTILLOS DE SECCION
 25 NO. LLEVAR PLÁTILLOS FRONTERA
 0 NO. LLEVAR CÓDIGO DE REFERENCIADO •NE•
 1 NO. DE PLÁTILLOS DE CARGA
 1 INDICAR DE LAS FACES LJE ENTREPIAS(1=1,0)
 8 NO. MARCAR DE LAS FACES INTERNAS DIFERENTES
 0 INDICAR DE LAS FACES RESTRINGIDAS (1=1)
 4 NO. LLEVAR PLÁTILLOS DE SECCION VARIABLE DIFERENTES
 0 NO. LLEVAR PLÁTILLOS DE SECCIONES DIFERENTES
 0 NO. MARCAR DE FACES DE LOS GPOS. RESTRINGIDOS

CONSTANTES ELÁSTICAS DE LOS MATERIALES
 MAT. NO. --MÓDULO (TON/H2) CIRAD--COEFICIENTE DE POISSON--PESO VOLUMÉTRICO
 (TON/H2)

1	1414213.50	0.15	2.400
---	------------	------	-------

PARÁMETROS QUE DEFINEN LAS SECCIONES

TIPO	*SECCION*	*PARÁMETROS*
0	ESPECIAL	(A, IZ, FY)
1	RECTANGULAR	(E, H)
2		(E, H, V, T)
3		(E, H, V, T)
4	CANAL	(E, H, V, T)

5	ANGULOS	(E) H V T)
6	CIRCULAR	(E) H V T)
7	CAJON	(E) H V T)
8	CIRCULAR HI-ECA	(E) T C)
9	CROZ	(E) H V T C)
10	ZETA	(E) H V T C P)
11	H	(E) H V T)



SECCION NU.	TIPO	DIMENSIONES DE LAS SECCIONES TRANSVERSALES						SECCION NU.
		(C)	(C)	(C)	(CH)	(CH)	(CH)	
1	RECTANGULAR	100.00	35.00					
2	RECTANGULAR	100.00	35.00					
3	RECTANGULAR	100.00	35.00					
4	RECTANGULAR	100.00	35.00					
5	ZETA	220.00	35.00	180.00	5.00			
6	ZETA	220.00	35.00	60.00	5.00			
7	ZETA	120.00	35.00	60.00	5.00			
8	ZETA	120.00	35.00	100.00	5.00			
9	ANGULO	100.00	35.00	100.00	5.00			

SECCION NU.	TIPO	PROPIEDADES DE LAS SECCIONES TRANSVERSALES						SECCION NU.
		(W)	(A)	(Hc)	(Iz)	(Ix)	(Iz)	
1	RECTANGULAR	6.1744	0.1011	75.00	1.2868			
2	RECTANGULAR	0.1200	0.0300	75.00	1.2868			
3	RECTANGULAR	0.1200	0.0300	75.00	1.2868			
4	RECTANGULAR	0.1200	0.0300	75.00	1.2868			
5	ZETA	0.3000	0.0774	61.92	0.5146			
6	ZETA	0.3000	0.0774	61.92	0.5146			
7	ZETA	0.3000	0.0774	61.92	0.5146			
8	ANGULO	0.0744	0.0200	97.12	0.3250			

X00---	(Y)	(C)	HCCC---		(Y)	(C)	HCC---		(Y)	(C)
			(X)	(Y)			(X)	(Y)		
1	0.000	21.600	5.120	21.600	9.390	21.600	5.120	9.390	9.390	21.600
2	0.000	16.910	5.120	16.910	9.390	16.910	5.120	9.390	9.390	16.910
3	0.000	16.910	5.120	16.910	9.390	16.910	5.120	9.390	9.390	16.910
4	0.000	13.500	5.120	13.500	9.390	13.500	5.120	9.390	9.390	13.500
5	0.000	10.400	5.120	10.400	9.390	10.400	5.120	9.390	9.390	10.400
6	0.000	8.140	5.120	8.140	9.390	8.140	5.120	9.390	9.390	8.140
7	0.000	5.120	5.120	5.120	9.390	5.120	5.120	9.390	9.390	5.120
8	0.000	3.740	5.120	3.740	9.390	3.740	5.120	9.390	9.390	3.740
9	0.000	0.200	5.120	0.200	9.390	0.200	5.120	9.390	9.390	0.200

L	T	H	1	2	3	4	5	6	7	8	9	10	11	12	13	14	15	16	17	18	19	20
1	0.050	0.050	0.350	0.250	0.170	0.070	0.270	0.170	0.070	0.070	0.070	0.270	0.270	0.270	0.270	0.190	0.170	0.170	0.170	0.170	0.170	
2	0.050	0.050	0.350	0.250	0.170	0.070	0.270	0.170	0.070	0.070	0.070	0.270	0.270	0.270	0.270	0.190	0.170	0.170	0.170	0.170	0.170	
3	0.050	0.050	0.350	0.250	0.170	0.070	0.270	0.170	0.070	0.070	0.070	0.270	0.270	0.270	0.270	0.190	0.170	0.170	0.170	0.170	0.170	
4	0.050	0.050	0.350	0.250	0.170	0.070	0.270	0.170	0.070	0.070	0.070	0.270	0.270	0.270	0.270	0.190	0.170	0.170	0.170	0.170	0.170	
5	0.050	0.050	0.350	0.250	0.170	0.070	0.270	0.170	0.070	0.070	0.070	0.270	0.270	0.270	0.270	0.190	0.170	0.170	0.170	0.170	0.170	
6	0.050	0.050	0.350	0.250	0.170	0.070	0.270	0.170	0.070	0.070	0.070	0.270	0.270	0.270	0.270	0.190	0.170	0.170	0.170	0.170	0.170	
7	0.050	0.050	0.350	0.250	0.170	0.070	0.270	0.170	0.070	0.070	0.070	0.270	0.270	0.270	0.270	0.190	0.170	0.170	0.170	0.170	0.170	
8	0.050	0.050	0.350	0.250	0.170	0.070	0.270	0.170	0.070	0.070	0.070	0.270	0.270	0.270	0.270	0.190	0.170	0.170	0.170	0.170	0.170	
9	0.050	0.050	0.350	0.250	0.170	0.070	0.270	0.170	0.070	0.070	0.070	0.270	0.270	0.270	0.270	0.190	0.170	0.170	0.170	0.170	0.170	
10	0.050	0.050	0.350	0.250	0.170	0.070	0.270	0.170	0.070	0.070	0.070	0.270	0.270	0.270	0.270	0.190	0.170	0.170	0.170	0.170	0.170	
11	0.050	0.050	0.350	0.250	0.170	0.070	0.270	0.170	0.070	0.070	0.070	0.270	0.270	0.270	0.270	0.190	0.170	0.170	0.170	0.170	0.170	
12	0.050	0.050	0.350	0.250	0.170	0.070	0.270	0.170	0.070	0.070	0.070	0.270	0.270	0.270	0.270	0.190	0.170	0.170	0.170	0.170	0.170	
13	0.050	0.050	0.350	0.250	0.170	0.070	0.270	0.170	0.070	0.070	0.070	0.270	0.270	0.270	0.270	0.190	0.170	0.170	0.170	0.170	0.170	
14	0.050	0.050	0.350	0.250	0.170	0.070	0.270	0.170	0.070	0.070	0.070	0.270	0.270	0.270	0.270	0.190	0.170	0.170	0.170	0.170	0.170	
15	0.050	0.050	0.350	0.250	0.170	0.070	0.270	0.170	0.070	0.070	0.070	0.270	0.270	0.270	0.270	0.190	0.170	0.170	0.170	0.170	0.170	
16	0.050	0.050	0.350	0.250	0.170	0.070	0.270	0.170	0.070	0.070	0.070	0.270	0.270	0.270	0.270	0.190	0.170	0.170	0.170	0.170	0.170	
17	0.050	0.050	0.350	0.250	0.170	0.070	0.270	0.170	0.070	0.070	0.070	0.270	0.270	0.270	0.270	0.190	0.170	0.170	0.170	0.170	0.170	
18	0.050	0.050	0.350	0.250	0.170	0.070	0.270	0.170	0.070	0.070	0.070	0.270	0.270	0.270	0.270	0.190	0.170	0.170	0.170	0.170	0.170	
19	0.050	0.050	0.350	0.250	0.170	0.070	0.270	0.170	0.070	0.070	0.070	0.270	0.270	0.270	0.270	0.190	0.170	0.170	0.170	0.170	0.170	
20	0.050	0.050	0.350	0.250	0.170	0.070	0.270	0.170	0.070	0.070	0.070	0.270	0.270	0.270	0.270	0.190	0.170	0.170	0.170	0.170	0.170	

12 ALCHO DE SEMIBANDA DE LA MATRIZ DE RIGIDEZES

16 1.17333490L-02 3.03347211E-04 -9.6793156E-04
 17 1.17333331E-02 -4.97217254E-05 -5.3782981E-05
 18 2.0422344L-01 2.28392371E-04 -1.7496431E-03
 19 7.1440558PE-01 7.6971229E-05 -5.4337571E-04
 20 3.1697232E-01 3.01327129E-04 -2.5246123E-03
 21 3.3012632L-01 4.30331339E-05 -6.6857731E-04
 22 3.2997940L-01 7.16694481E-04 -9.4655877E-04

BANDA	EXTRATO FEMICO	NORMAL	EXTENSO INICIAL (TON Y FLEXU-M)		NORMAL	EXTENSO FINAL (TON Y FLEXU-M)
			CORTANTE	FLEXUANTE		
1	2	-6.19782	-9.65227	1.73528	-8.16732	-9.63337
2	8	-6.1233	-1.25304	3.57004	-8.16338	-2.49285
3	10	-6.12218	-1.25304	3.57004	-8.16338	-2.49123
4	11	-6.12118	-1.04115	4.67045	-8.16338	-2.47127
5	17	-6.12118	-2.22463	6.83036	-8.16338	-2.41176
6	20	-6.12118	-2.44222	6.83036	-8.16338	-5.91878
7	23	-6.12118	-2.45205	7.86060	-8.16338	-5.91878
8	6	-6.05222	-1.420046	1.00279	-8.16338	-1.51050
9	9	-6.05222	-1.452158	1.00279	-8.16338	-1.51216
10	12	-6.05222	-1.452158	1.00279	-8.16338	-3.14209
11	19	-6.05222	-1.452158	1.00279	-8.16338	-4.82475
12	15	-6.05222	-1.452158	1.00279	-8.16338	-6.00062
13	20	-6.05222	-1.452158	1.00279	-8.16338	-7.103810
14	23	-6.05222	-1.452158	1.00279	-8.16338	-7.94914
15	24	-6.05222	-1.452158	1.00279	-8.16338	-1.73528
16	5	-6.05222	-1.24764	1.00279	-8.16338	-2.27748
17	6	-6.05222	-0.93341	1.00279	-8.16338	-1.54495
18	8	-6.05222	-0.93341	1.00279	-8.16338	-1.57718
19	9	-6.05222	-0.93341	1.00279	-8.16338	-2.00169
20	10	-6.05222	-0.93341	1.00279	-8.16338	-3.02533
21	12	-6.05222	-0.93341	1.00279	-8.16338	-3.11439
22	13	-6.05222	-0.93341	1.00279	-8.16338	-3.65132
23	14	-6.05222	-0.93341	1.00279	-8.16338	-4.21273
24	15	-6.05222	-0.93341	1.00279	-8.16338	-5.04277
25	16	-6.05222	-0.93341	1.00279	-8.16338	-2.80371
26	18	-6.05222	-0.93341	1.00279	-8.16338	-5.64427
27	19	-6.05222	-0.93341	1.00279	-8.16338	-3.27220
28	30	-6.05222	-0.93341	1.00279	-8.16338	-3.13472
29	31	-6.05222	-0.93341	1.00279	-8.16338	-4.60335
30	32	-6.05222	-0.93341	1.00279	-8.16338	-6.244328
31	33	-6.05222	-0.93341	1.00279	-8.16338	-1.88002
32	35	-6.05222	-0.93341	1.00279	-8.16338	-3.665548
33	36	-6.05222	-0.93341	1.00279	-8.16338	-6.86331
34	37	-6.05222	-0.93341	1.00279	-8.16338	-4.20134
35	38	-6.05222	-0.93341	1.00279	-8.16338	-3.27751
36	39	-6.05222	-0.93341	1.00279	-8.16338	-5.72612
37	40	-6.05222	-0.93341	1.00279	-8.16338	-3.75876

TIEMPO DE EJECUCION = 3.7100 SEC
 TIEMPO DE ENTRADA Y SALIDA = 4.4333 SEC

TIEMPO DE EJECUCION = 4.4333 SEC

$$\left| F_i \right|_{\max} = \frac{w_i}{g} \sqrt{\sum_{i=1}^n \left(c_j r_{ij} p_j v_j \right)^2} \quad (3.43)$$

$$\left| F_i \right|_{\max} = \frac{w_i}{g} \sqrt{\sum_{i=1}^n \left(c_j r_{ij} A_j \right)^2} \quad (3.44)$$

2.2.4 EJEMPLO DE ANALISIS SISMICO ESTATICO

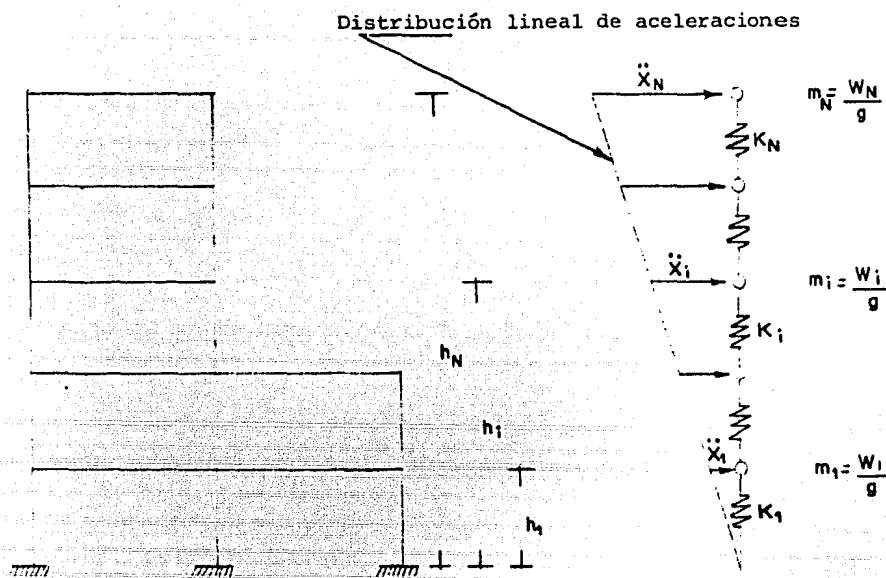
El análisis sísmico se hará en el sentido corto del edificio para encontrar las fuerzas sísmicas horizontales así como -- los elementos mecánicos debidos al efecto sísmico en el marco 8, nivel 4°.

El desarrollo del ejemplo se hará en la siguiente forma:

1. Cálculo del peso de los entrepisos para sismo.
2. Determinación del coeficiente sísmico.
3. Fuerzas sísmicas horizontales.
4. Rígidez de entrepisos en marcos 5, 7, 8, 9,A, D y F.
5. Centro de gravedad de los niveles 3°, 4° y 5°.
6. Cálculo del cortante directo y de torsión en 3°, 4° y - 5° entrepisos.
7. Elementos mecánicos sísmicos en marco 8, nivel 4°.
8. Diagramas.

1. CALCULO DEL PESO DE LOS ENTREPISOS PARA SISMO.

NIVELES 1° a 6°



m_i , Masa del nivel i-ésimo

k_i , Rigididad de entrepiso (del nivel i-ésimo)

h_i , Altura del nivel i-ésimo

w_i , Peso de la masa m_i

g , Aceleración de la gravedad

N , No. de Niveles, igual al número de grados de libertad

x_i , aceleración del nivel i-ésimo

Fig. 2.1 Representación esquemática de un edificio al cuantificar las fuerzas sísmicas

ZONA	TERRENO	a_0	T_1	T_2	r
I	firme	0.03	0.3	0.3	1/2
II	transición	0.045	0.5	2.0	2/3
III	comprimible	0.06	0.8	3.3	1

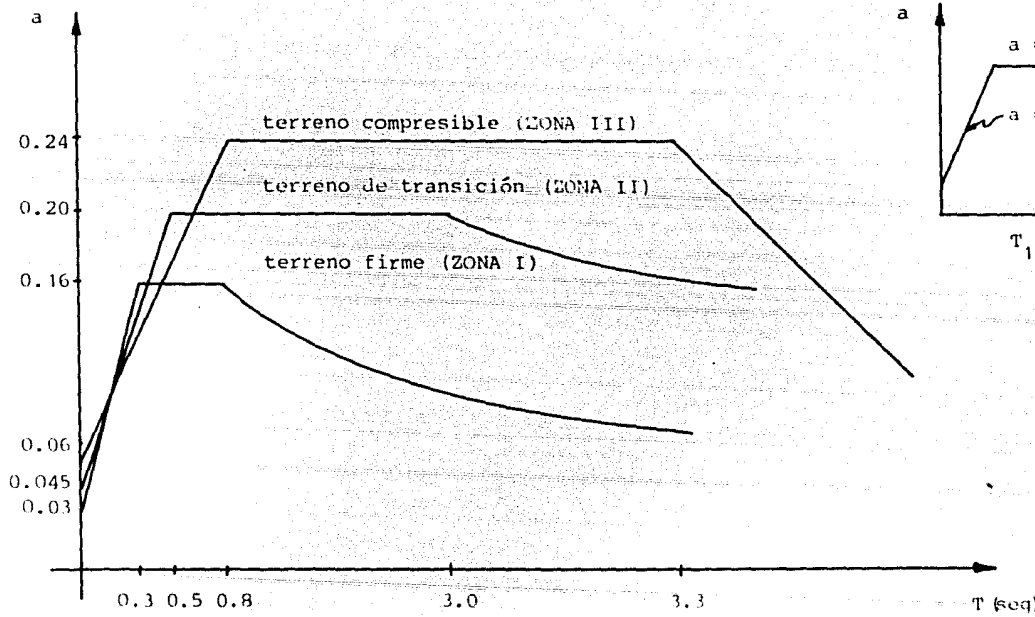


fig 2.2 Espectros de diseño. Reglamento del D.D.F. (1976)

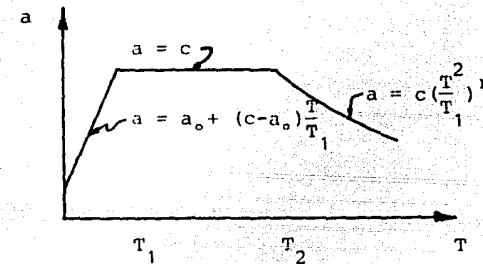


Diagram showing a vertical chain of N identical masses, each of mass m , connected by springs. The system is fixed at the top.

$$w_i = h_i \quad w_i h_i \quad F_i = \frac{C}{Q} w_i h_i \quad v_i \quad k_i \quad \Delta_i = \frac{v_i}{k_i} \quad x_i$$

$$F_i = \frac{C}{Q} \frac{\sum_{k=1}^N w_k}{\sum_{k=1}^N w_k h_k} \quad v_i \quad k_i \quad \Delta_i = \frac{v_i}{k_i} \quad x_i$$

$$w_n = h_n \quad w_n h_n \quad F_n = \frac{C}{Q} w_n h_n \quad v_n \quad k_n \quad \Delta_n = \frac{v_n}{k_n}$$

$$F_n = \frac{C}{Q} \frac{\sum_{k=1}^N w_k}{\sum_{k=1}^N w_k h_k} \quad v_n \quad k_n \quad \Delta_n = \frac{v_n}{k_n}$$



$$w_i = h_i \quad w_i h_i \quad F_i = \frac{C}{Q} w_i h_i \quad v_i \quad k_i \quad \Delta_i = \frac{v_i}{k_i}$$

$$F_i = \frac{C}{Q} \frac{\sum_{k=1}^N w_k}{\sum_{k=1}^N w_k h_k} \quad v_i \quad k_i \quad \Delta_i = \frac{v_i}{k_i}$$

$$w_1 = h_1 \quad w_1 h_1 \quad F_1 = \frac{C}{Q} w_1 h_1 \quad v_1 \quad k_1 \quad \Delta_1 = \frac{v_1}{k_1}$$

$$F_1 = \frac{C}{Q} \frac{\sum_{k=1}^N w_k}{\sum_{k=1}^N w_k h_k} \quad v_1 \quad k_1 \quad \Delta_1 = \frac{v_1}{k_1}$$

$\frac{N}{\sum_{k=1}^N w_k}$	$\frac{N}{\sum_{k=1}^N w_k h_k}$
------------------------------	----------------------------------

Fig. 2.3 Organización para determinar el desplazamiento x_i en la estimación del periodo fundamental de vibración.

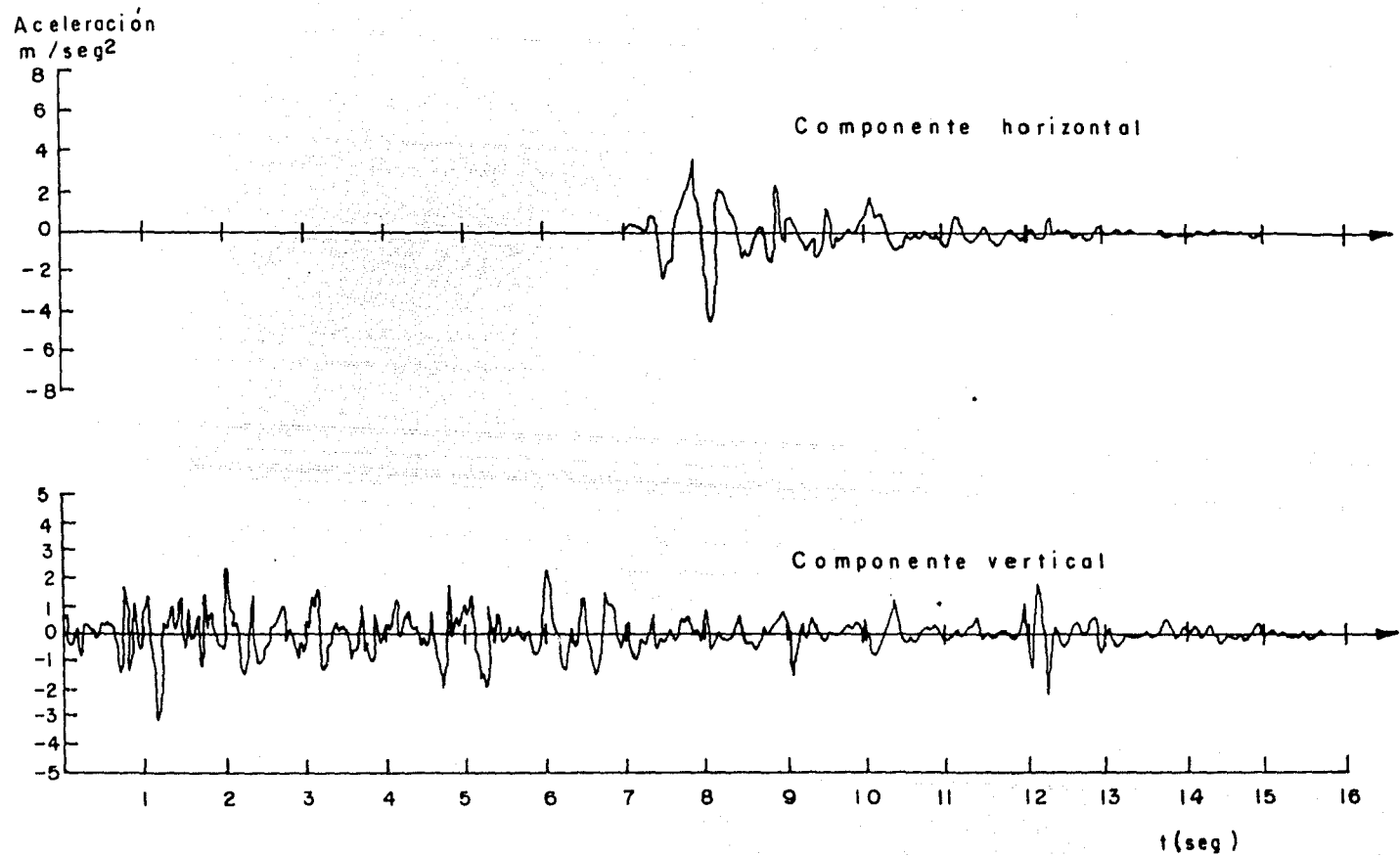


Fig. 3.1 Acelerogramas de un temblor

EDIFICIO A

$$\begin{aligned}
 w_{\text{losa}} &= 0.747 \text{ T/m}^2 [(11.25)(10.0) - (0.65) \\
 &\quad (5.20) - (2.35)(2.10)] = 76.89 \text{ Ton} \\
 w_{\text{losa}} &= 0.711 \text{ T/m}^2 [(2.35)(2.10)] = 3.51 " \\
 w_{\text{muros colindancia}} &= 0.483 \text{ T/m} (21.6 \text{ m}) = 10.43 " \\
 w_{\text{muros interiores}} &= 0.402 \text{ T/m} (25.9 \text{ m}) = 10.41 " \\
 w_{\text{muros baños}} &= 0.467 \text{ T/m} (16.6 \text{ m}) = 7.75 " \\
 w_{\text{pretíl}} &= 0.21 \text{ T/m} (15.1) = 3.17 " \\
 w_{\text{columnas (30 x 45)}} &= 9(0.30)(0.45)(2.7)(2.4) = 7.87 " \\
 \text{TOTAL} &= 120.03 \text{ Ton}
 \end{aligned}$$

EDIFICIO B

$$\begin{aligned}
 w_{\text{losa}} &= 0.747 [(9.225)(10.0) + 4.5 (1.5) + 1.5 \\
 &\quad (2) + 13.51 - 2.4 (2.1)] = 32.70 \text{ Ton} \\
 w_{\text{losa}} &= 0.711 [(2.4)(2.1)] = 3.58 " \\
 w_{\text{muros colindancia}} &= 0.483 \text{ T/m} (25.95) = 12.53 " \\
 w_{\text{muros interiores}} &= 0.402 \text{ T/m} (26.5) = 10.65 " \\
 w_{\text{muros baño}} &= 0.467 \text{ T/m} (15.7) = 7.33 " \\
 w_{\text{pretíl}} &= 0.21 \text{ T/m} (9.0) = 1.89 " \\
 w_{\text{columnas (30 x 45)}} &= 11 (0.30)(0.45)(2.7)(2.4) = 9.62 " \\
 w_{\text{escaleras}} &= 0.669 (3.0)(2.55) = 5.12 " \\
 w_{\text{jardineras}} &= 0.60 (6.5) = 3.90 " \\
 \text{TOTAL} &= 137.32 \text{ Ton}
 \end{aligned}$$

NIVEL 7°

EDIFICIO A

$$\begin{aligned}
 w_{\text{losa}} &= 0.747 \text{ T/m}^2 [(8.225)(10.0) - 0.65(5.3) \\
 &\quad - 3.2(-3.7) - 2.6(1.9) - 0.9(0.9)] = 45.73 \text{ Ton} \\
 w_{\text{losa}} &= 0.622 \text{ T/m}^2 [(2.9)(1.0)] = 18.04 " \\
 w_{\text{losa}} &= 0.711 \text{ T/m}^2 [(3.2)(3.7)] = 8.42 " \\
 w_{\text{muros colindancia}} &= 0.483 \text{ T/m (21.6 m.)} = 10.43 " \\
 w_{\text{muros interiores}} &= 0.402 \text{ T/m (14.4)} = 5.79 " \\
 w_{\text{muros baños}} &= 0.467 \text{ T/m (13.10)} = 6.12 " \\
 w_{\text{pretil}} &= 0.210 \text{ T/m (15.2)} = 3.19 " \\
 w_{\text{columnas (30 x 45)}} &= 9(0.30)(0.4)(2.7)(2.4) = 7.00 " \\
 \text{TOTAL} &= 104.72 \text{ Ton}
 \end{aligned}$$

EDIFICIO B

$$\begin{aligned}
 w_{\text{losa}} &= 0.747 \text{ T/m}^2 [(6.675)(10.0) + 4.5(1.5) \\
 &\quad + 1.45(2) - 2.8(5.15) - \\
 &\quad - 1.9(2.7) - 0.9(9.0)] = 41.11 \text{ Ton} \\
 w_{\text{losa}} &= 0.622 \text{ T/m}^2 [(3.85)(10.0) - \frac{10(1)}{2}] = 20.84 " \\
 w_{\text{losa}} &= 0.711 \text{ T/m}^2 [(2.80)(5.15)] = 10.25 " \\
 w_{\text{muros colindancia}} &= 0.483 \text{ T/m (25.95)} = 12.53 " \\
 w_{\text{muros interiores}} &= 0.402 \text{ T/m (14.0)} = 5.63 " \\
 w_{\text{muro baños}} &= 0.467 \text{ T/m (13.3)} = 6.21 " \\
 w_{\text{pretil}} &= 0.294 (7.6) = 2.23 " \\
 w_{\text{columnas (30 x 40)}} &= 11(0.30)(0.40)(2.7)(2.4) = 8.55 "
 \end{aligned}$$

$W_{escaleras} = 0.669 (3.0)(2.55)$	= <u>5.12</u> Ton
TOTAL	= <u>112.47</u> Ton

De igual forma

NIVEL 8° EDIFICIO B	TOTAL	= <u>140.34</u> Ton
EDIFICIO A	TOTAL	= <u>82.27</u> Ton

2. DETERMINACION DEL COEFICIENTE SISMICO

De acuerdo con el reglamento del D.F. 1976 el edificio tiene:

Tipo de estructuración 1

Factor de ductilidad $\phi=4$

según su uso el edificio cae en el Grupo B Zona de desplante 1.

Por lo cual le corresponde un coeficiente sísmico $c = 0.16$
sin reducir por ductilidad $c.s_{dis} = \frac{0.16}{4} = 0.04$.

3. FUERZA SISMICAS HORIZONTALES

Las fuerzas sísmicas horizontales se obtienen en la siguiente tabla.

NIVEL	ENTRE PISO	w _i (ton)	h _i (ton)	w _i h _i ton-m	F _i (Ton)	v _i (ton)
8°		140.34	21.60	3031.34	10.09	
	8°					10.09
7°		112.47	18.90	2125.68	7.07	
	7°					17.16
6°		137.32	16.20	2222.64	7.40	
	6°					24.56
5°		137.32	13.50	1852.20	6.16	
	5°					30.72
4°		137.32	10.80	1483.05	4.94	
	4°					35.66
3°		137.32	8.10	1112.29	3.70	
	3°					39.36
2°		137.32	5.40	741.52	2.47	
	2°					41.83
1°		137.32	2.70	370.76	1.23	
	1°					43.06

$$\Sigma \quad 1076.73 \quad \Sigma \quad 12939.48$$

$$F_i = \frac{w_i h_i}{\sum w_i h_i} c \sum w_i$$

$$\sum w_i h_i = 12939.48, \sum w_i = 1076.73, C.S. = 0.04$$

$$F_i = \frac{0.04(1076.73)}{12939.48} w_i h_i = 0.00332 w_i h_i$$

4. RIGIDEZ DE ENTREPISOS EN MARCOS

Se entiende por rigidez de entrepiso a la relación entre - la fuerza cortante resistida por un marco, muro ó contra- viento en un entrepiso y el desplazamiento horizontal rela- tivo entre los dos niveles consecutivos.

Las formulas de Wilbur forman parte de un método aproxima- do y sirven para calcular la rigidez de entrepiso en marcos regulares de momentos de inercia constante. (ref. 1)

Hipótesis de las formulas de Wilbur.

1. Los giros en todos los nudos de un nivel y de los dos niveles adyacentes son iguales (excepto en el nivel de desplante, en donde puede suponerse empotramiento o articulación según el caso).
2. La fuerza cortante en los dos entrepisos adyacentes al que interesa son iguales a la de éste.

De aquí resultan las siguientes expresiones:

Para el primer entrepiso:

Suponiendo columnas empotradas en la cimentación.

$$P_1 = \frac{48 E}{h_1 \left[\frac{4 h_1}{k_{c1}} + \frac{h_1 + h_2}{\frac{k_{t1}}{2} + \frac{k_{c1}}{2}} \right]}$$

Suponiendo las columnas articuladas en la cimentación.

$$R_1 = \frac{24 E}{h_1 \left[\frac{8 h_1}{\sum k_{c1}} + \frac{2 h_1 + h_2}{\sum k_{t1}} \right]}$$

Para el segundo entrepiso:

Suponiendo las columnas empotradas en la cimentación.

$$R_2 = \frac{48 E}{h_2 \left[\frac{4 h_2}{\sum k_{c,2}} + \frac{h_1 + h_2}{\sum k_{t1} + \frac{h_2 + h_3}{12}} + \frac{h_2 + h_3}{\sum k_{t2}} \right]}$$

Suponiendo las columnas articuladas en la cimentación.

$$R_2 = \frac{48 E}{h_2 \left[\frac{4 h_2}{\sum k_{c,2}} + \frac{h_2 + h_3}{\sum k_{t2}} + \frac{2 h_1 + h_2}{\sum k_{t1}} \right]}$$

para entrepisos intermedios:

$$R_n = \frac{48 E}{h_n \left[\frac{4 h_n}{\sum k_{c,n}} + \frac{h_m + h_n}{\sum k_{tm}} + \frac{h_n + h_o}{\sum k_{tn}} \right]}$$

Donde :

R_n = rigidez de entrepiso en cuestión

k_{tn} = rigidez (I/L) de trabes del nivel sobre el entrepiso, n .

$k_{c,n}$ = rigidez (I/L) de columnas del entrepiso n .

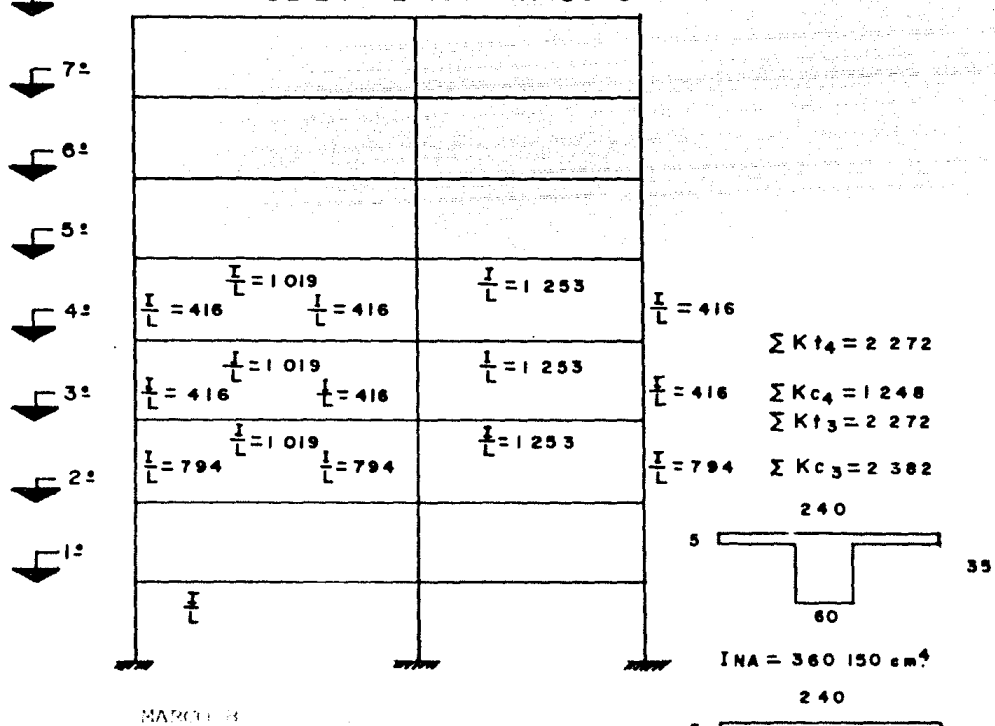
$m, n, o =$ indices que identifican tres niveles consecutivos de abajo hacia arriba

$h_n =$ altura del entrepiso n .

En nuestro ejemplo tenemos marcos regulares formados por piezas de momento de inercia variable, sin embargo tomaremos el momento de inercia promedio y utilizaremos las fórmulas de Wilbur.

8:

RIGIDEZ DE ENTREPISO MARCO 8



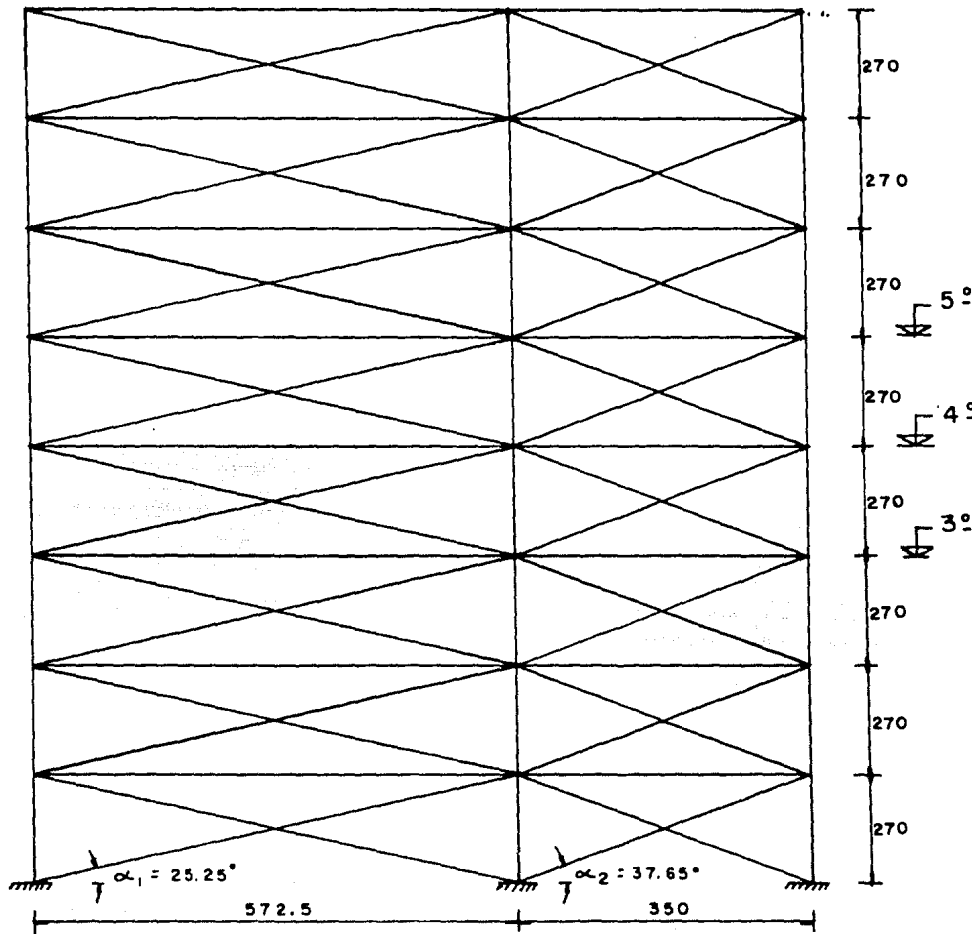
MARCO 8

$$R_n = \frac{48 E}{[4 h_n + h_m + h_n + h_n + h_o]}$$

$$h_n = \frac{h_m + h_m + h_m + h_m}{4n}$$

$$I = 717\ 727 \text{ cm}^4$$

$$I_{PROM} = 538\ 938 \text{ cm}^4$$



$$R = \frac{G \cdot L}{H} + \frac{1.8 (A_c E_c \cos^3 \alpha)}{L}$$

$$L_1 = 633$$

$$L_2 = 442$$

$$G = 0.4 E \quad A_c = 14 \times 25 = 350 \text{ cm}^2$$

$$\cos^3 \alpha_1 = 0.744$$

$$E = 10.8 \text{ T/cm}^2 \quad E_c = 10^4 \sqrt{f_c} = 141421 \frac{\text{Kg}}{\text{cm}^2}$$

$$\cos^3 \alpha_2 = 0.50$$

$$R_3 = \frac{0.4 (10.8) (572.5 + 350) (14)}{270} + \frac{2(1.8)(350)(141421)(0.744)}{633 \times 10^3} + \frac{2(1.8)(350)(141421)0.5}{442 \times 10^3}$$

$$R_3 = 206.64 + 209.43 + 201.57$$

$$R_3 = 617.64 \text{ Ton./cm.}$$

$$R_{4,5} = \frac{48 E}{270 \left[\frac{4(270)}{1248} + \frac{270 + 270}{2272} + \frac{270 + 270}{2272} \right]} = \frac{48 E}{362} = 18.75 \text{ Ton/cm}$$

$$R_3 = \frac{48 E}{270 \left[\frac{4(270)}{2382} + \frac{270 + 270}{2272} + \frac{270 + 270}{2272} \right]} = \frac{48 E}{250.76} = 27.07 \text{ Ton/cm}$$

$$R_5 = \frac{48 E}{362} = 18.75 \text{ Ton/cm}$$

De la misma forma se obtuvo la rigidez de entrepiso en los demás marcos.

Marco 5

$$R_3 = R_4 = R_5 = 2.36 \text{ Ton/cm}$$

Marco 7

$$R_3 = 20.32 \text{ Ton/cm}$$

$$R_4 = R_5 = 15.25 \text{ Ton/cm}$$

Marco 9

$$R_3 = 21.55 \text{ Ton/cm}$$

$$R_4 = R_5 = 15.93 \text{ Ton/cm}$$

Marco D

$$R_3 = 48.94 \text{ Ton/cm}$$

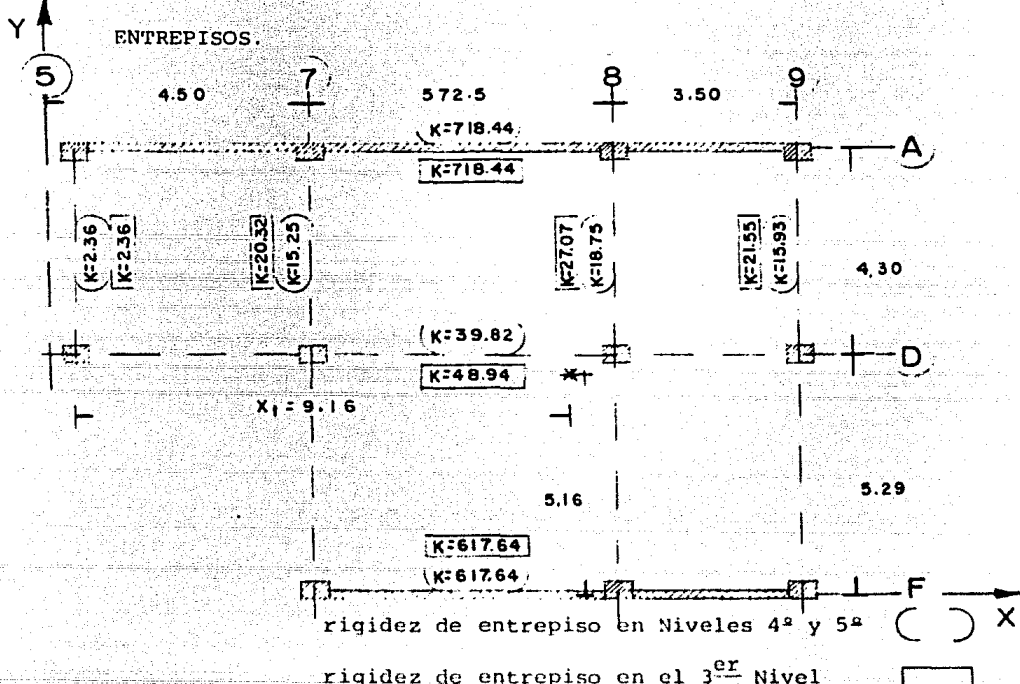
$$R_4 = R_5 = 39.82 \text{ Ton/cm}$$

5.- CENTRO DE GRAVEDAD DE LOS NIVELES 3^a, 4^a y 5^a

De la misma forma, como se calculó el centro de torsión se calcularon los centros de gravedad y se obtuvo:

$$Gg = (8.48, 5.00) \text{ para } 3^a, 4^a \text{ y } 5^a \text{ niveles}$$

6.- CALCULO DEL CORTANTE DIRECTO Y DE TORSION EN 3^a, 4^a y 5^a ENTREPISOS.



CENTRO DE TORSION 4^a y 5^a NIVEL

Marco	k _x	k _y	x	y	k _x	k _y
5	2.36		0		0	
7	15.25		4.50		68.62	
8	18.75		10.225		191.72	
9	15.93		13.725		218.63	
A		718.44		0.50		6890
D		39.82		5.29		210.64
F		617.64		0		0

$$\Sigma k_x = 52.29, \Sigma k_y = 1375.46, \Sigma k_x \cdot k_y = 479.97, \Sigma k_y \cdot k_x = 7100.64$$

$$x = \frac{478.97}{52.29} = 9.16 \text{ mts.}$$

$$G_T = (9.16, 5.16)$$

$$y = \frac{7100.64}{1375.46} = 5.16 \text{ mts}$$

$$e_x = 9.16 - 8.48 = 0.68 \text{ mts.}$$

$$e_y = 5.16 - 5.00 = 0.16 \text{ mts.}$$

$$ed_x = \frac{1.5(0.68) + 0.1(9.59)}{0.68} = 1.98 \quad M_{x1} = 1.98(35.66) = 70.60 \text{ Ton-m}$$

$$ed_x = \frac{-0.1(9.59)}{0.68} = -0.28 \quad M_{x2} = 0.28(35.66) = -9.98 \text{ Ton-m}$$

$$ed_y = \frac{1.5(0.16) + 0.18(13.725)}{0.16} = 1.61 \quad M_{ty1} = 1.61(35.66) = 57.41 \text{ Ton-m}$$

$$ed_y = \frac{-0.1(13.725)}{0.16} = -1.21 \quad M_{ty2} = 1.21(35.66) = -43.14 \text{ Ton-m}$$

MARCO	Y _{it}	K _{ix} Y _{it}	K _{ix} (Y _{it}) ²	EFECTO DE V _x			EFECTO DE V _y	
				DIRECTO	TORSION	TOTAL	TORSION	
F	-5.16	3187.02	16445.03	16.00	-6.92	+9.08	-5.63	
D	0.13	5.17	1064.34	1.03	0.01	1.02	0.01	
A	4.43	3182.69	14099.31	18.63	6.91	11.72	5.62	
Σ			31608.68	35.66				

$$V = 35.66$$

$$Y_t = \frac{\sum K_i Y_i}{K_{ix}} = \frac{7100.48}{1375.90} = 5.16$$

MARCO	X _{it}	K _{iy} X _{it}	K _{iy} (X _{it}) ²	EFECTO DE V _y			EFECTO DE V _x	
				DIRECTO	TORSION	TOTAL	TORSION	
5	-9.16	-21.62	198.01	1.61	-0.04	1.57	-0.04	
7	-4.66	-71.06	331.16	10.40	-0.12	10.28	-0.15	
8	1.065	19.97	21.26	12.79	+0.04	12.83	0.04	
9	4.565	72.72	331.97	10.86	+0.12	10.98	0.16	
Σ			882.4	35.66				

$$x_t = \frac{\sum K_{iy} x_i}{\sum K_{iy}} = \frac{478.98}{52.29} = 9.16$$

En marco x por efecto de
la torsión

$$\frac{M_t K_{ix} Y_{it}}{[\sum K_{ix} (Y_{it})^2 + \sum K_{iy} (x_{it})^2]} = \frac{M_t K_{ix} Y_{it}}{32491.08}$$

En marcos y por efecto de la torsión

$$\frac{M_t K_{iy} x_{it}}{[\sum K_{iy} (x_{it})^2 + \sum K_{ix} (Y_{it})^2]} = \frac{M_t K_{iy} x_{it}}{32491.08}$$

CENTRO DE TORSION 3^{er} NIVEL

MARCO	K _x	K _y	x	y	k _x	k _y
5	2.36		0		0	
7	20.32		4.50		91.44	
8	27.07		10.225		276.79	
9	21.55		13.725		295.77	
A		718.44		9.59		6890
D		48.94		5.29		25889
F		617.64		0		0

71.30 1385,02 664,00 7148,89

$$\bar{x} = \frac{664.00}{71.30} = 9.31$$

$$\bar{y} = \frac{7148.89}{1385.02} = 5.16 \quad G_t = (9.31, 5.16)$$

$$G_i = (8.48, 5.00)$$

$$e_x = 9.31 - 8.48 = 0.83 \text{ mts}$$

$$e_y = 5.16 - 5.00 = 0.16 \text{ mts}$$

$$e_{dx} = 1.5e + 0.10L = 1.5(0.83) + 0.10(9.59) = 2.20 \text{ mts.}$$

$$e_{dy} = e - 0.10L = 0.83 - 0.10(9.59) = 0.13$$

$$e_{dx} = 1.5(0.16) + 0.10(13.725) = 1.40 \text{ mts}$$

$$e_{dy} = 0.16 - 0.10(13.725) = -1.21 \text{ mts}$$

De la tabla de fuerzas sísmicas horizontales

$$V = 39.36$$

$$M_{tx_1} = 39.36(2.20) = 86.59 \text{ Ton-m}$$

$$M_{tx_2} = 39.36(0.13) = 5.12 \text{ Ton-m}$$

$$M_{ty_1} = 39.36(1.40) = 55.10 \text{ Ton-m}$$

$$M_{ty_2} = 39.36(-1.21) = -47.62 \text{ Ton-m}$$

MARCO	y_{it}	$K_{ix}y_{it}$	$K_{ix}(y_{iy})^2$	EFFECTO DE V_x			EFFECTO DE V_y
				DIRECTO	TORSION	TOTAL	
F	-5.16	-3187.02	16445.03	17.55	-8.73	8.82	-5.56
D	0.13	6.36	0.83	1.39	0.02	1.41	0.01
A	4.43	3182.69	14099.3	20.42	8.72	29.14	5.55
Σ			30545.15				

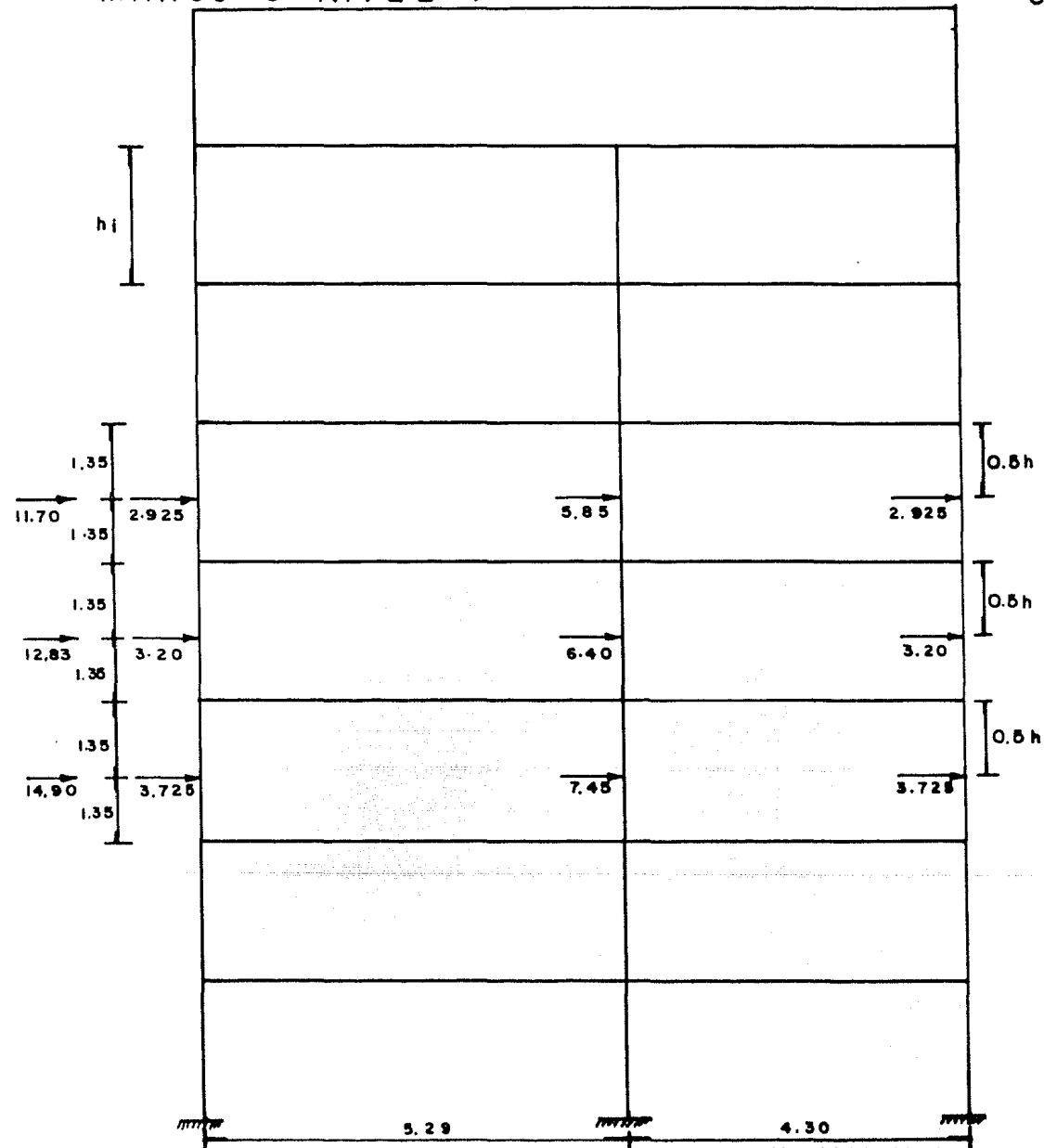
$$y_t = \frac{7148.73}{1385.02} = 5.16$$

MARCO	x_{it}	$K_{iy}x_{it}$	$K_{iy}(x_{it})^2$	EFFECTO DE V_y			EFFECTO DE V_x
				DIRECTO	TORSION	TOTAL	
5	-9.31	-21.97	204.55	2.48	-0.04	2.44	-0.06
7	-4.50	-91.44	411.48	11.29	-0.16	11.13	-0.25
8	0.915	24.77	22.66	14.94	+0.04	14.90	0.07
9	4.415	95.14	420.05	11.90	+0.16	12.06	0.26
Σ			1058.74				

$$x_t = \frac{664}{71.30} = 9.31$$

7. ELEMENTOS MECANICOS SISMICOS EN
MARCO 8 NIVEL 4º

66



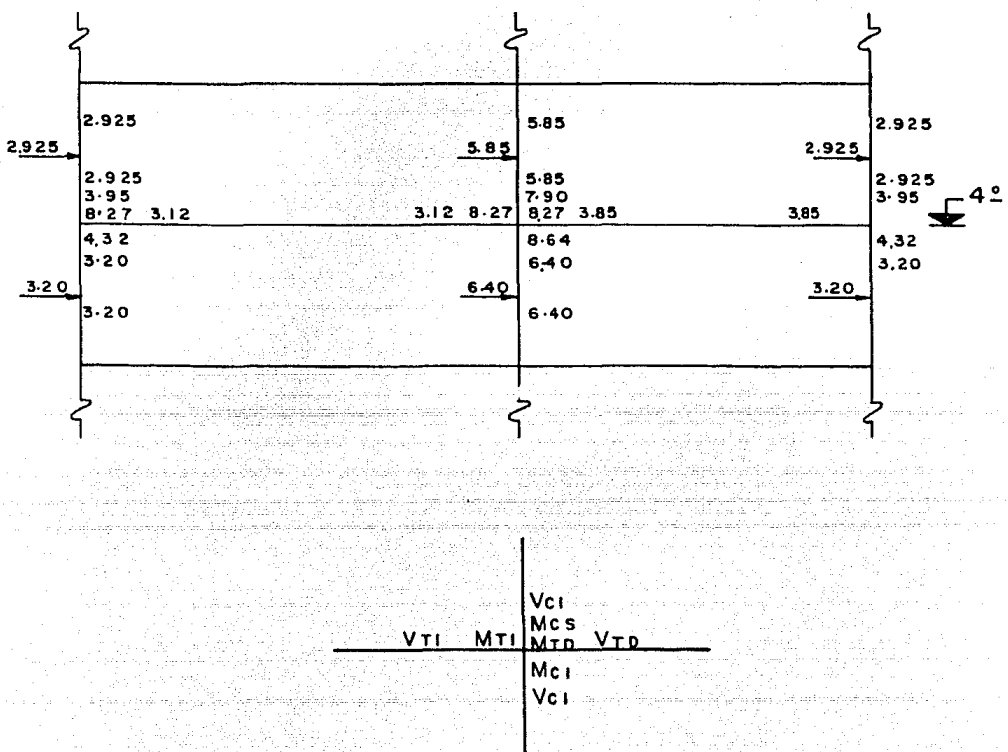
M E T O D O D E P O R T A L

Hipótesis:

- 1.- Los puntos de inflexión de travesas y de columnas se encuentran en sus puntos medios.
- 2.- La fuerza cortante en cada una de las columnas exteriores de un piso es igual a la mitad de la que corresponde a cada columna inferior, Ref. 1

ELEMENTOS MECANICOS SISMICOS EN
MARCO 8 NIVEL 4º

67



- MCS** Momento en columna superior.
- MC1** Momento en columna inferior.
- MTI** Momento en trabe izquierda.
- MTD** Momento en trabe derecha.
- VTI** Cortante en trabe izquierda.
- VTD** Cortante en trabe derecha.
- VCS** Cortante en columna superior.
- VCI** Cortante en columna inferior.

Diagrama de momentos.

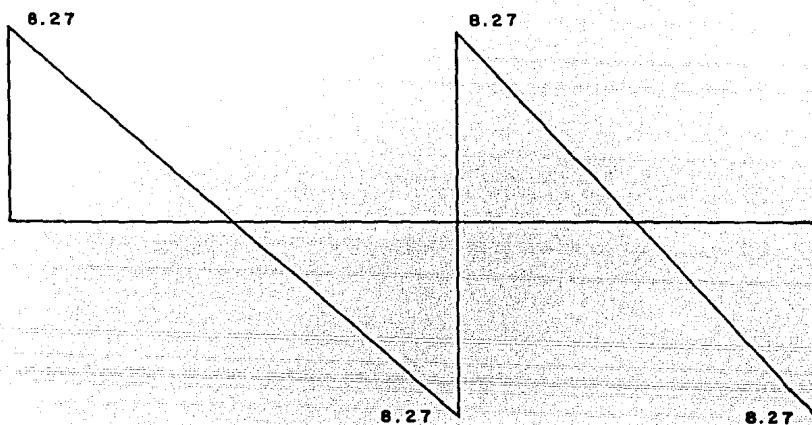
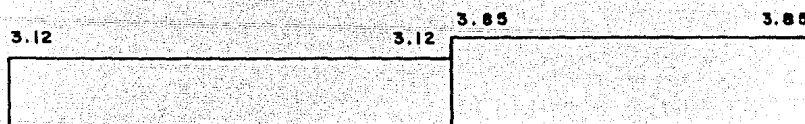


Diagrama de cortantes.



III. PROPORCIONAMIENTO DE MIEMBROS

III. PROPORCIONAMIENTO DE MIEMBROS

1. DEFINICION

El proporcionamiento de elementos estructurales puede definirse como el proceso mediante el cual se determinan las dimensiones y características que deben tener los elementos estructurales para cumplir una determinada función con un grado de seguridad razonable y de manera que su comportamiento bajo condiciones de servicio sea adecuado.

Para poder llegar a la etapa de proporcionamiento de miembros se hizo una estimación de las dimensiones de cada uno de los elementos estructurales que formarán al edificio como se mencionó anteriormente. Así, para proceder al diseño de elementos estructurales partiremos del conocimiento de las dimensiones de estos, revisando si son correctas.

2. DISEÑO DE ELEMENTOS QUE FORMAN LA SUPERESTRUCTURA.

2.1 DISEÑO DE NERVADURA PRINCIPAL

Diseño de nervadura principal que se localiza en el Marco

8 Planta tipo Nivel 4º por diseño elástico.

El diseño se hará con base en el diagrama de elementos mecánicos que a continuación se presenta, tomando en cuenta

que dichos elementos se toman con tres nervaduras principales esto es: hay que multiplicar la resistencia de la sección por tres ó dividir los elementos mecánicos entre tres.

CONSTANTES DE ARMADO

$$\text{Concreto } f_c' = 200 \text{ kg/cm}^2 \quad E_c = 10^4 \quad \sqrt{f_c'} = 141421 \text{ kg/cm}^2$$

$$\text{Acero } f_y = 4000 \text{ kg/cm}^2 \quad E_s = 2.1 \times 10^6 \text{ kg/cm}^2$$

Momento resistente:

$$M_r = K b d^2$$

$$K = \frac{1}{2} f_c' k_j$$

$$k = \frac{1}{1 + \frac{f_s}{nf_c}}$$

$$f_s = 0.5 f_y$$

$$f_c' = 0.45 f_c$$

$$n = \frac{E_s}{E_c} = 2.1 \times 10^6 / 141421 \approx 15$$

$$k = \frac{1}{1 + \frac{2000}{(15)(90)}} = 0.403$$

$$j = 1 - \frac{k}{3} = 1 - \frac{0.403}{3} = 0.866$$

$$K = \frac{1}{2} (90)(0.403)(0.866) = 15.7$$

Con sección 20 x 35

$$M_x = 15.7 (20)(31)^2 = 3.01 \text{ ton-m/nerv; } \times 3 = 9.03 \text{ ton-m/3 nerv.}$$

Cortante resistente del concreto:

$$V_c = v b d$$

$$v = 0.25 \sqrt{f'_c} = 3.53 \text{ kg/cm}^2$$

$$V_c = 3.53(20)(31) = 2.19 \text{ Ton/nerv; } \times 3 = 6.57 \text{ Ton/ 3 nerv.}$$

Cortante resistente en zona de ábaco

$$V_c = 3.53(180)(31) = 19.70 \text{ Ton}$$

Acero mínimo

$$A_{Smin} = pbd$$

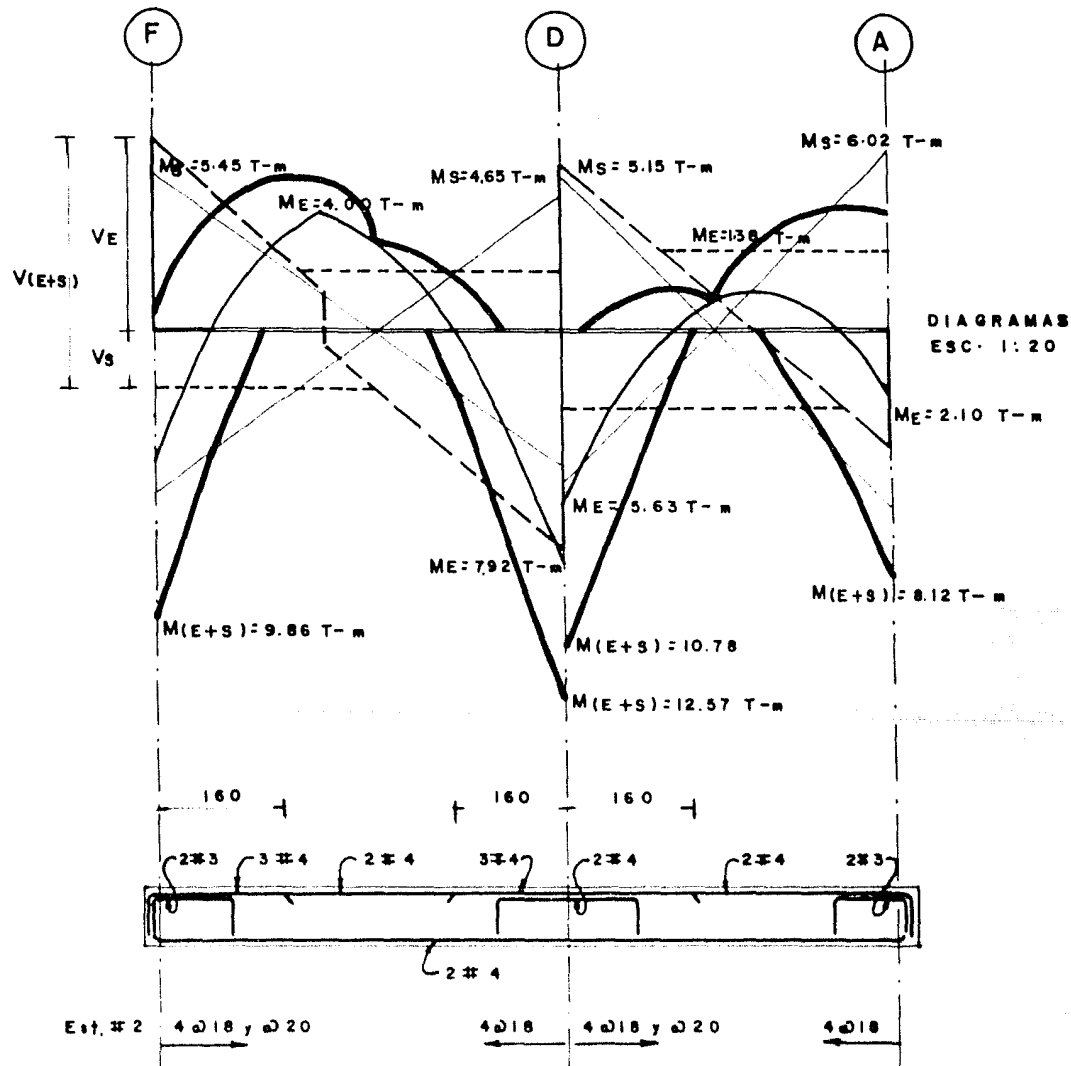
$$P = \frac{14}{f_y} = \frac{14}{4000} = 0.0035$$

$$A_{Smin} = 0.0035(20)(31) = 2.17 \text{ cm}^2/\text{nerv.}$$

Área de Acero necesaria por flexión

$$A_s = \frac{M}{f_{sjd}}$$

NERVADURA PRINCIPAL EJE 8



- DIAGRAMAS DE MOMENTOS PRODUCIDOS POR CARGAS VERTICALES
- DIAGRAMAS DE MOMENTOS PRODUCIDOS POR SISMO
- — — SUPERPOSICION DE DIAGRAMAS DE MOMENTOS (ESTATICO+SISMO)
- — — — DIAGRAMAS DE CONTANTES PRODUCIDOS POR CARGAS VERTICALES
- — — — — SUPERPOSICION DE DIAGRAMAS DE CORTANTES (ESTATICO + SISMO)

$$A_S = \frac{M}{2(0.866)(0.31)} = 1.862 \text{ M}$$

Separación de Estriplos

$$S_{ep\#} = \frac{0.75 (2 a_S) (f_S) d}{v'}$$

$$S_{ep\#2} = \frac{0.75 (0.63) (1,265) 31}{v'} = \frac{18.52}{v'}$$

$$v' = v_{TOT} - v_c$$

Acero positivo

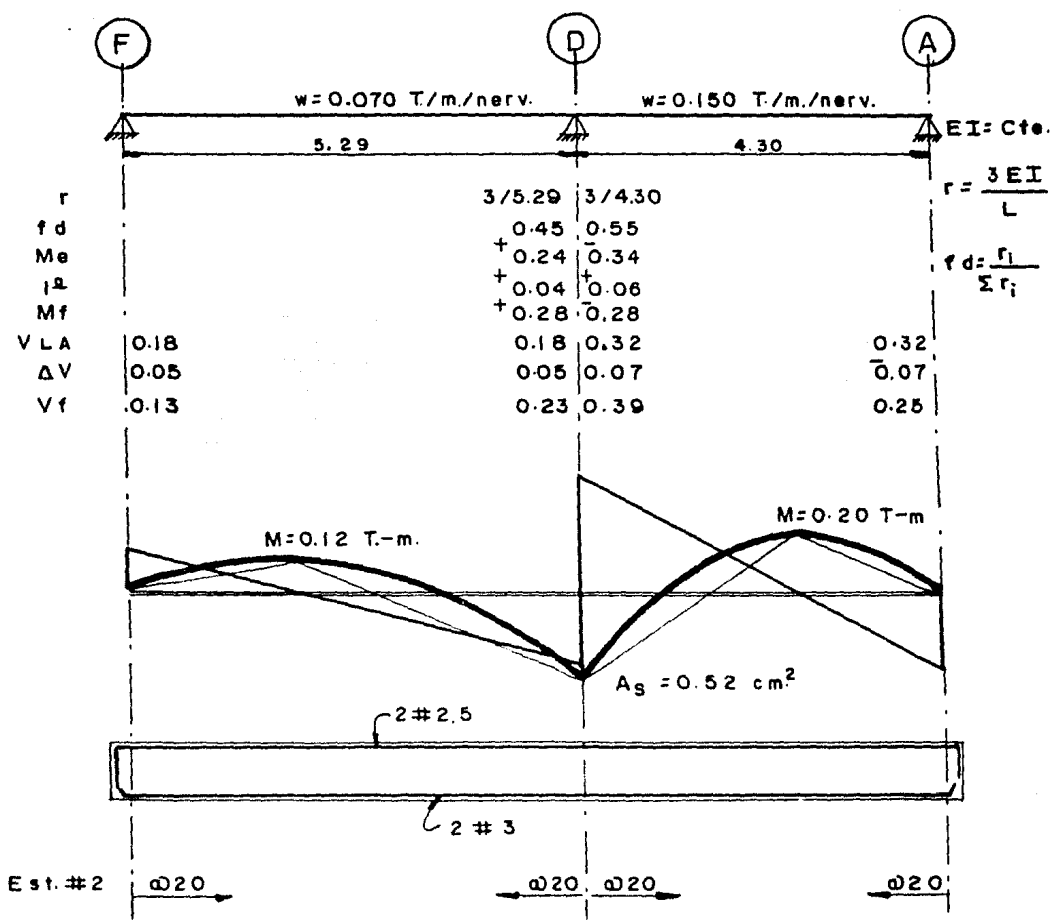
$$A_S = 1.862(4)/3 \text{ nerv } = 2.48 \text{ cm}^2 = 2\#4$$

Acero negativo

$$A_S = 1.824(7.92)/3 \text{ nerv } = 4.91 \text{ cm}^2$$

2.2 DISEÑO DE NERVADURA SECUNDARIA

Diseño de nervadura secundaria, localizada entre ejes 8 y-9 de planta tipo con diseño elástico.



$M_R = k b d^2 = 15.7(10)(31)^2 = 1.50 \text{ Ton-m} > 0.32 \text{ pasa por momento resistente.}$

$$V_C = v b d = 3.53(10)(31) = 1.09 \text{ Ton} > 0.39$$

∴ no requiere estribos se pondrán los necesarios para armar.

Acero positivo

$$A_s = 1.862(0.20) = 0.37 \text{ cm}^2$$

Acero negativo

$$A_s = 1.862(0.28) = 0.52 \text{ cm}^2$$

Acero mínimo

$$A_{smin} = 0.0035(10)(31) = 1.08 \text{ cm}^2 > 0.37$$

.. Armaremos la nervadura con acero mínimo 2#3 en lecho bajo y 2#2.5 en lecho alto.

2.3 DISEÑO DE COLUMNA

Diseño de columna F-8 entre el nivel 5° y 6° por diseño plástico según reglamento del DF. 1976.

De la tabla de elementos mecánicos en la columna F-8:

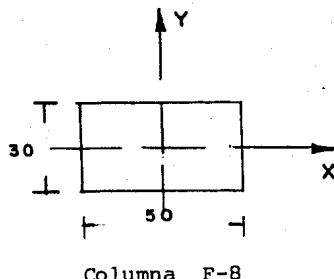
Extremo superior:

$$M_{Ex} = 1.80 \text{ Ton-m} \quad M_{Sx} = 1.5 \text{ T-m} \quad M_{(E+S)x} = 3.30 \text{ T-m}$$

$$M_{Ey} = 2.07 \text{ Ton-m} \quad M_{Sy} = 2.10 \text{ T-m} \quad M_{(E+S)y} = 4.17 \text{ T-m}$$

$$P = 40.81 \text{ Ton}$$

Columna	Nivel	Px (Ton.)	Py (Ton.)	P. P. (Ton.)	Pparcial (Ton.)	Pacum. (Ton.)	MEx (T-m)	MEy (T-m)	Msx (T-m)	Msy (T-m)	M(E+S)x (T-m)	M(E+S)y (T-m)	APEx (Ton.)	APEy (Ton.)
ENTRE EJES F-8	Az.													
	7 ^o	11.02	4.15	0.67	15.84	15.84	4.06 3.50	1.44 1.21	0.67 0.50	1.74 1.55	5.80 4.00	3.18 2.76	2.80 2.80	0.98 0.98
	6 ^o	6.58	4.10	0.67	11.35	27.19	2.80 1.83	1.21 1.50	0.50 0.46	1.58 1.48	3.30 2.29	2.79 2.98	1.71 1.71	1.00 1.00
	5 ^o	6.47	6.30	0.85	13.62	40.81	1.80 1.86	2.07 1.99	1.50 1.27	2.10 1.91	3.30 3.13	4.17 3.90	1.35 1.35	1.50 1.50
	4 ^o	6.34	6.36	0.85	13.55	54.36	1.72 1.51	1.84 1.68	1.67 1.48	2.67 2.56	3.39 2.99	4.51 4.24	1.20 1.20	1.30 1.30
	3 ^o	6.24	6.50	1.18	13.92	68.28	2.35 2.10	2.73 2.49	2.60 2.41	2.69 2.73	4.95 4.51	5.62 5.22	1.65 1.65	1.93 1.93
	2 ^o	6.29	6.62	1.18	14.09	82.37	1.92 1.94	2.35 2.36	2.62 2.87	3.40 3.20	4.54 4.81	5.75 5.86	1.43 1.43	1.75 1.75
	1 ^o	6.36	6.61	1.18	14.15	96.82	2.06 2.24	2.47 2.62	2.76 3.25	3.57 3.53	4.82 5.49	6.04 6.15	1.89 1.89	1.88 1.88
	P.B.	6.82	6.95	1.18	14.25	110.77	1.66 0.86	1.95 0.84	3.12 7.67	3.23 3.63	4.78 5.83	5.18 6.47	0.93 0.93	1.03 1.03



CONSTANTES

$$f_c' = 200 \text{ kg/cm}^2$$

$$f_y = 4000 \text{ kg/cm}^2$$

$$f_c^* = 0.8 f_c' = 0.8 (200) = 160 \text{ kg/cm}^2$$

$$f_c'' = 0.85 f_c^* = 0.85 (160) = 136 \text{ kg/cm}^2$$

$$\frac{f_y}{f_c''} = \frac{4000}{136} = 29.41$$

$$A_c = 30 \times 50 = 1500 \text{ cm}^2$$

$$A_c f_c'' = 1500 (126) = 204000 \text{ kg} = 204 \text{ Ton}$$

EFFECTO DE ESBELTEZ

Sentido x :

El efecto de esbeltez se puede despreciar si:

$$\frac{h}{r} < 22$$

$$H = 235 \text{ cm}$$

considerando la columna empotrada en el extremo superior e inferior y sin desplazamiento horizontal.

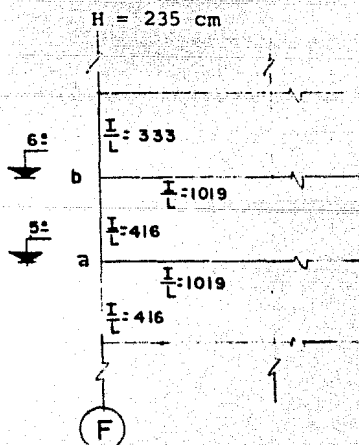
$$k = 0.5$$

$$H' = kH = 0.5(235) = 117.5 \text{ cm} \text{ (longitud efectiva de pandeo)}$$

$$r = 0.3 h = 0.3(50) = 15 \text{ cm} \text{ (radio de giro)}$$

$$\frac{H'}{r} = \frac{117.5}{15} = 7.83 < 22 \therefore \text{se puede despreciar el efecto de esbeltez sentido } x.$$

Sentido y :



$$\phi_a = \frac{\sum \frac{I_c}{L_c}}{\sum \frac{I}{L}} = \frac{333 + 416}{1019} = 0.73$$

$$\phi_b = \frac{416 + 416}{1019} = 0.82$$

Entrando en el nomograma para marcos no contraventeados para obtener el factor de longitud efectiva $k = 1.22$.

$$H' = kH = 1.22(235) = 286.7 \text{ cm}$$

$$r = 0.3 h = 0.3(30) = 9 \text{ cm}$$

$$\frac{H'}{r} = \frac{286.7}{9} = 31.85 > 22$$

por lo tanto la columna es esbelta en esta dirección.

Para tomar en cuenta la esbeltez tenemos que multiplicar -- los elementos mecánicos de momento flexionante por un factor de amplificación.

$$F_a = \frac{1}{1 - \frac{\sum P_u}{\sum P_{crit}}}$$

$$P_u = 1.87 (40.81) = 76.31 \text{ Ton}$$

$$P_{crit} = \frac{F_R \pi^2 EI}{(H)^2}$$

$$EI = 0.4 \left[\frac{E_c I_g}{1+u} \right] = 0.4$$

$$E_c = 10^4 \sqrt{f_c} = 10^4 \sqrt{200} = 141421$$

$$I_g = \frac{50 (30)^3}{12} = 112500 \text{ cm}^4$$

$$F_R = 0.85, u = 0.7$$

$$EI = 0.4 \left[\frac{141421 (112500)}{1.7} \right] = 9358742647$$

$$P_{crit} = \frac{0.85 \pi^2 (9358742647)}{(236.7)^2} = 953174 \text{ kg} = 953.17 \text{ Ton}$$

$$F_a = \frac{1}{1 - \frac{76.31}{953.17}} = 1.087$$

Elementos mecánicos últimos de diseño:

Condición Estática

$$M_{ux} = 1.87 (1.80) = 3.37 \text{ Ton-m}$$

$$M_{uy} = 1.87 [(1.087)(2.07)] = 4.20 \text{ Ton-m}$$

$$P_u = 1.87 (40.81) = 76.31 \text{ Ton}$$

Condición Estática + sismo sentido y

$$M_{ux} = 1.47 [1.8 + 0.3 (1.5)] = 3.30 \text{ Ton-m}$$

$$M_{uy} = 1.47 [1.087 (4.17)] = 6.66 \text{ Ton-m}$$

$$P_u = 1.47 (40.81) = 60.00 \text{ Ton}$$

Revisión de la columna a flexocompresión biaxial para las dos condiciones (Estática y Estática más sismo sentido y)

Revisión de la columna para condición estática: con

$$A_s \text{ min} = 0.01 (A_c) = 0.01 (30)(50) = 15 \text{ cm}^2 \approx 8\#5 = 15.92 \text{ cm}^2$$

$$P = \frac{A_s}{bt} = \frac{22.36}{30(50)} = 0.0153; w = p \frac{f_y}{f_c} = 0.0153 \frac{(4000)}{136} = 0.45$$

$$P_{oc} = 0.85 (A_c f_c'' + A_s f_y)$$

$$P_{oc} = 0.85 (204 + 15.92(4)) = 227.53 \text{ Ton}$$

Calculo de P_{ux}

$\frac{d}{t} = \frac{45}{50} = 0.90$ (En gráfica con el acero distribuido en la periferia)

$$\frac{M_x}{c_x} = \frac{3.37}{76.31} = 0.044$$

$$\left[\frac{e_x}{t} \right] = \frac{0.044}{0.50} = 0.088$$

$$\left[\frac{e_x}{t} \right]_{\min} = 0.10$$

$$P = \frac{A_s}{bt} = \frac{15.92}{30(50)} = 0.0106$$

$$w = P \frac{f_y}{f_c} = 0.0106 (29.41) = 0.31$$

Con estos datos podemos entrar a la gráfica de interacción,
y obtener el valor de k

$$k = 1.05$$

$$P_{ux} = F_R k b t f_c''$$

$$P_{ux} = 0.85 (1.05) (30) (50) (136) = 182.07 \text{ Ton}$$

Calculo de P_{uy}

$\frac{d}{b} = \frac{25}{30} = 0.83$ (En gráfica con el acero distribuido en la periferia).

$$e_y = \frac{M_y}{P} = \frac{4.20}{76.31} = 0.055$$

$$\left[\frac{e_y}{b} \right] = \frac{0.055}{0.30} = 0.18$$

$$w = 0.31$$

$$k = 0.82$$

$$P_{uy} = 0.85 (0.82) (30) (50) (136) = 142.19 \text{ Ton}$$

Cálculo de la carga última resistente (P_u) de la columna con las condiciones anteriormente vistas

$$P_u = \left(\frac{1}{P_{ux}} + \frac{1}{P_{uy}} - \frac{1}{P_{oc}} \right)^{-1}$$

$$P_u = \left(\frac{1}{182.07} + \frac{1}{142.19} - \frac{1}{227.53} \right)^{-1} = 123 > 76.31 \text{ Ton}$$

Por lo tanto pasa la columna con sección 30x50 y acero mínimo para la condición Estática.

Revisión de la columna para condición Estática más sismo sentido y Revisión con $A_s \text{ mín } = 15.92 \text{ cm}^2$

Cálculo de la carga última resistente de la columna P_u

$$P_u = \left(\frac{1}{P_{ux}} + \frac{1}{P_{uy}} - \frac{1}{P_{oc}} \right)^{-1}$$

cálculo de P_{oc}

$$P_{oc} = F_R (A_c f'_c + A_s f_y)$$

$$P_{oc} = 0.85 (204 + 15.92(4)) = 227.53 \text{ Ton}$$

cálculo de P_{ux}

$$\frac{d}{t} = \frac{45}{50} = 0.90$$

$$e_x = \frac{3.3}{60} = 0.055$$

$$\frac{e_x}{t} = \frac{0.055}{0.50} = 0.11$$

$$w = 0.31$$

En las gráficas de interacción

$$k = 1.05$$

$$P_{ux} = 0.85(1.05)(30)(50)(136) = 182.07$$

cálculo de P_{uy}

$$\frac{d}{b} = \frac{25}{30} = 0.83$$

$$\frac{e}{y} = \frac{6.66}{60} = 0.11$$

$$\frac{e}{y} = \frac{0.11}{0.30} = 0.37$$

$$w = 0.31$$

En las graficas de interacción

$$k = 0.51$$

$$P_{uy} = 0.85(0.51)(30)(50)(136) = 88.43 \text{ Ton}$$

$$P_u = \left(\frac{1}{182.07} + \frac{1}{88.43} - \frac{1}{227.53} \right) = 80.60 > 60 \text{ Ton}$$

Por lo tanto pasa la columna con sección 30x50 cm y acero mínimo para las dos condiciones, Estática y Estática más sismo sentido y.

SEPARACION DE ESTRIBOS EN LA COLUMNNA

Debido a que los cortantes en la columna son muy pequeños se pondrán estribos a la separación máxima permisible por

el reglamento del D.F. 1977.

$$\text{Sep } \# 2.5 \text{ máx} = \frac{F_y A_f}{R_v y} = \frac{0.85(0.98)4000}{3.5b(30)} = \varnothing 32$$

Por pandeo de las barras

$48\varnothing$ (\varnothing Diametro de los Estriplos)

$16\varnothing$ (\varnothing Diametro del Acero longitudinal)

Dimensión mínima de la columna

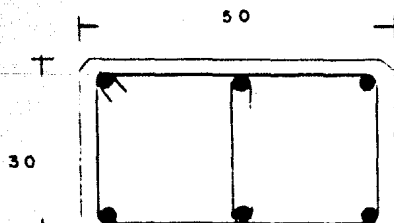
$$48\varnothing = 48(0.79) = \varnothing 38$$

$$16\varnothing = 16(1.59) = \varnothing 25$$

Dimensión mínima = $\varnothing 30$

De las cuatro condiciones anteriores se escoge la menor separación (c25)

Por lo tanto la columna se armará como se indica a continuación



$8 \# 5$
Est $\# 2.5 \varnothing 25$

IV JUSTIFICACION DE LA CIMENTACION

IV JUSTIFICACION DE LA CIMENTACION

Toda cimentación debe trabajar en forma adecuada, para ello es necesario conocer bajo que condiciones va a estar trabajando y enviárselas al experto en estudio de mecánica de suelos para que él de las recomendaciones necesarias para el funcionamiento de la cimentación.

En el edificio aquí tratado se analizaron las cargas a nivel de cimentación y se enviaron al experto en Mecánica de Suelos, se procesaron en el laboratorio las muestras de sondeos de penetración y sus conclusiones fueron:

Se encontró la "capa dura" a ocho metros de profundidad, formada por limos arenosos con gravas con alta resistencia a la penetración.

Se recomendó una cimentación profunda a base de pilas con ampliación de base a una profundidad de nueve metros con presiones de contacto permisibles de 80 Ton/m^2

El nivel del agua freática se encontró a profundidades mayores de nueve metros por lo que no habrá problemas en la excavación y colado de las pilas.

El edificio quedará empotrado a 1.60 mts. debajo del nivel natural del terreno por medio de contratrabes, para esto se compactará muy bien el suelo de relleno a los lados de estas.

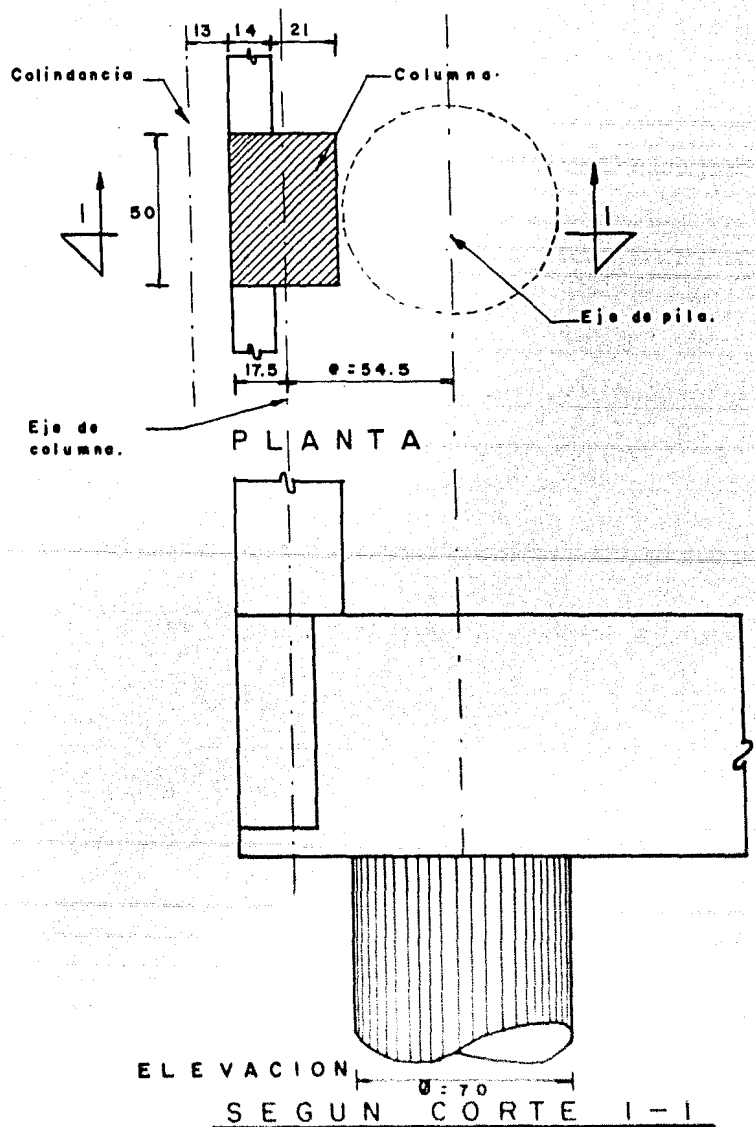
Por lo cual el edificio se cimentará a base de pilas con ampliación de base y contratrabes que tomarán la flexión producida por el cortante sísmico.

PROYECTO DE CIMENTACION

V. PROYECTO DE CIMENTACION

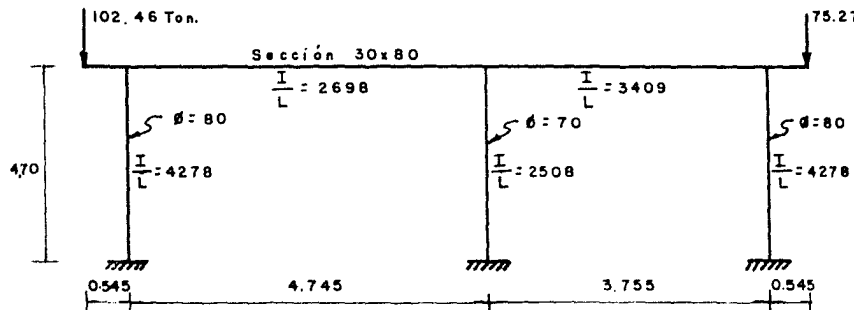
El proyecto de cimentación será a base de trabes de liga y pilas las cuales se dimensionarán con los elementos mecánicos obtenidos.

Debido a que lateralmente tenemos colindancias es necesario remeter la posición de la pila para acceso de la máquina perforadora como se indica en la siguiente figura.



E F E C T O D E C A R G A E X C E N T R I C A E N P I L A S D E E J E B

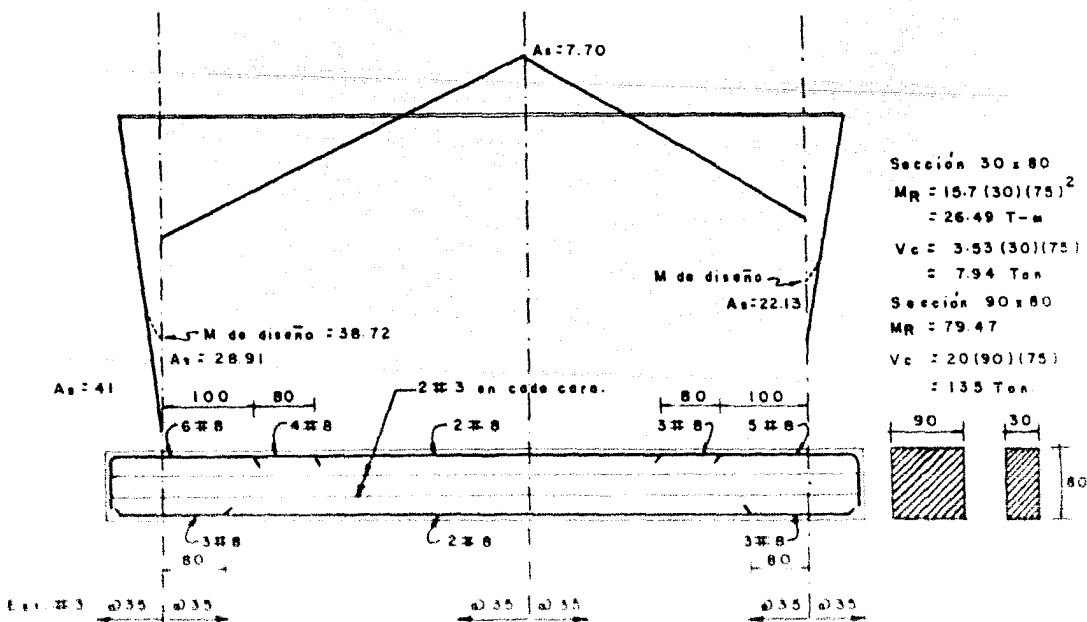
90



	T I	K-F	T D
r		4278	2698
fd		0.61	0.39
Me	+ 55.84		
1 ^a		- 34.06	- 21.78
t			
2 ^a			
1			+
3 ^a		- 0.18	0.29
Mf	+ 55.84	34.24	21.60
VLA	102.46		0
ΔV			+ 6.72
Vf	102.46		+ 6.72

T I	K-D	TD
2698	2508	3409
0.31	0.29	0.40
-10.89		+9.02
+0.58	+0.54	+0.75
-10.31	+0.54	+9.77
0		0
-6.72		-7.47
-6.72		-7.47

T I	K - A	T D
3409	4278	
0.44	0.56	
+ 18.04	+ 22.97	- 41.02
+ 0.37		
- 0.16	- 0.21	
+ 18.25	22.76	- 41.02
0		75.27
+ 7.47		
+ 7.47		



DISEÑO DE PILA 8F

Se diseña como columna corta

$$P = 102.43 \text{ Ton}$$

$$f'c = 200 \text{ kg/cm}^2$$

$$M = 34.24 \text{ Ton-m}$$

$$f_y = 4000 \text{ kg/cm}^2$$

$$P_u = 1.87 (102.46) = 191.60 \text{ Ton}$$

$$f^*c = 0.85(200) = 170 \text{ kg/cm}^2$$

$$M_u = 1.87 (34.24) = 64.03 \text{ Ton-m}$$

$$f''c = 0.8(170) = 136 \text{ kg/cm}^2$$

$$\text{con } \phi = 80$$

$$f_y^* = 0.8(4000) = 3200 \text{ kg/cm}^2$$

$$K = \frac{191600}{136(80)^2} = 0.22$$

$$R = \frac{6403000}{136(80)^3} = 0.092$$

$$\frac{d}{D} = \frac{72}{80} = 0.90$$

De graficas

$$q = 0.10 \quad q = p \frac{f^*}{f''c}$$

$$q = \frac{pf^*}{f''c}$$

$$p = \frac{4 A_s}{\pi D^2}$$

$$q = \frac{4 A_s f^*}{\pi D^2 \left(\frac{Y}{f''c}\right)}$$

$$A_s = \frac{q \pi D^2 f''}{4 f^* Y} = \frac{0.10(3.14)(80)^2(136)}{4(3200)} = 21.36 \text{ cm}^2$$

$$p = \frac{4(21.36)}{\pi(80)^2} = 0.004 < 0.005 \therefore p = 0.005; A_s = 25.13$$

. Pila de 80 cm. de diámetro armada con 9 # 6 y

Est # 2.5 c30

DISEÑO DE AMPLIACION DE BASE

$$P_{\text{sup}} = 102.46 \text{ Ton}$$

$$\text{Peso propio fuste} = \frac{\pi D^2}{4} h y = \frac{3.1416}{4} (0.80)^2 (9.00) (2.4) = 10.86 \text{ Ton}$$

$$P_{\text{TOTAL}} = 102.46 + 10.86 = 113.32 \text{ Ton}$$

con presión de contacto igual a 80 Ton/m²

$$\text{Area necesaria} = \frac{113.32}{80} = 1.42 \text{ m}^2$$

$$\frac{\pi D^2}{4} = 1.42$$

$$D = \sqrt{\frac{1.42(4)}{3.1416}} = 1.34 \text{ metros}$$

Por lo tanto campana de 140 cm. de diámetro

$$P_u = 1.87 (113.32) = 211.90 \text{ Ton}$$

calculo del P_{oc}

$$P_{oc} = 0.85 (A_c f_c'' + A_s f_y')$$

$$f_c'' = 136 \text{ Kg/cm}^2$$

$$A_s = 9 \# 6 = 25.83 \text{ cm}^2$$

$$f_y' = 4000 \text{ Kg/cm}^2$$

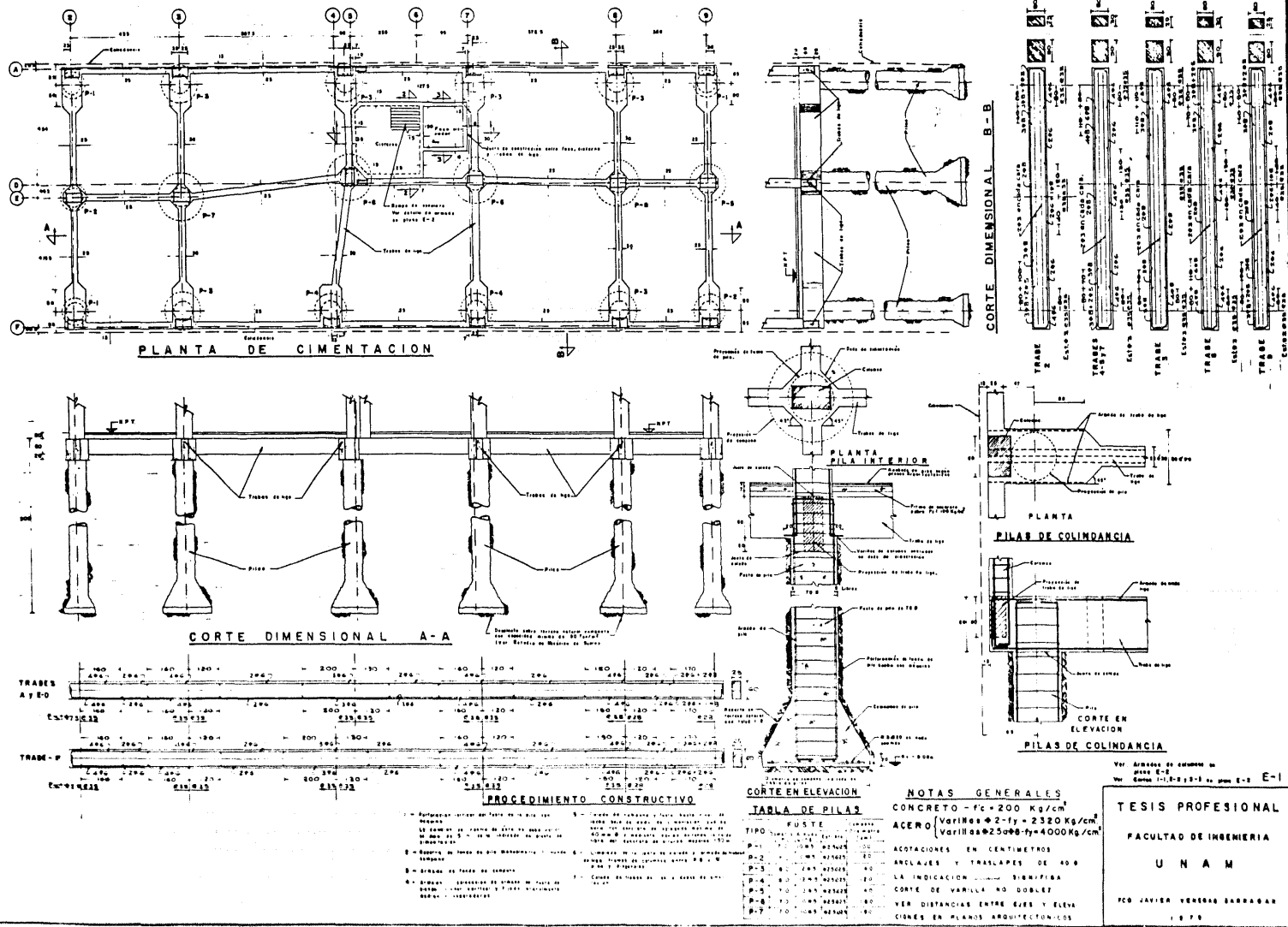
$$P_{oc} = 0.85 [(4071)(136) + 25.83(4000)] = 558430 \text{ Kg}$$

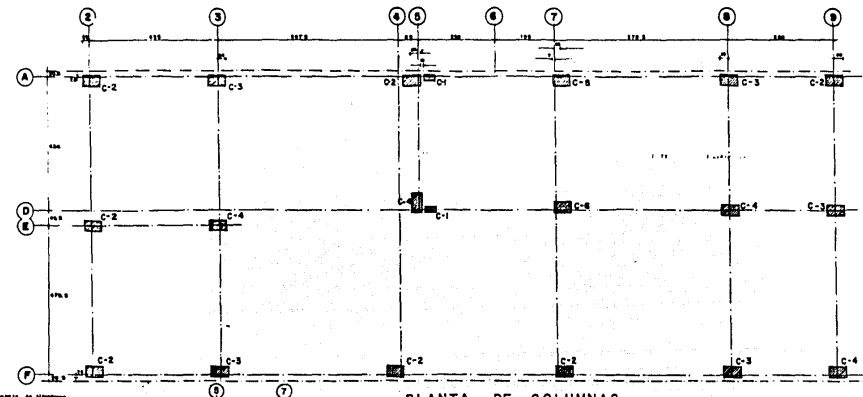
$$P_{oc} = 558.43 \text{ Ton} > 211.90$$

∴ Pasa pila con 80 cm de diámetro

REFE R E N C I A S

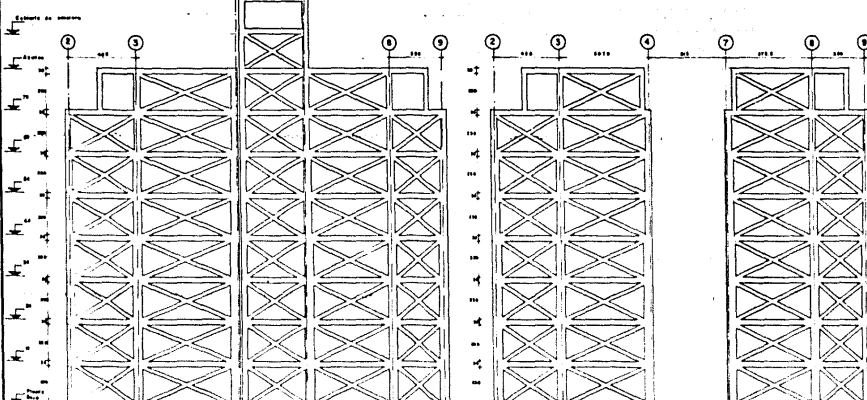
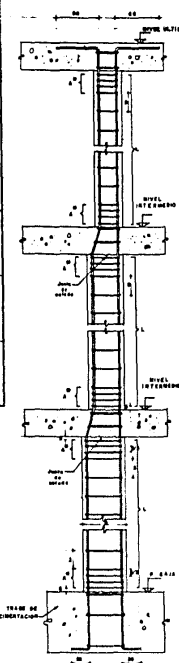
1. Folleto Complementario Diseño Sísmico de edificios (Emilio Rosenblueth y Luis Esteva).
2. "Reglamento de Construcciones para el D.F." Gaceta oficial del Departamento del D.F. Tercera Epoca 1º de Marzo de 1977 No. 115.
3. V. Porras S. y R. Cervantes B. "Análisis Lineal Tridimensional del Edificio Esquelatales Sometidos a Temblores". IV Congreso Nacional de Ingeniería Sísmica (1975)
4. R.W. Clough and J. Penzien, "Dynamics of Structures", Mc Graw-Hill (1975)
5. R.A. Anderson, "Fundamentals of Vibrations", Mc Millan (1967)
6. G.W. Housner, "Strong Ground Motion", Capítulo 4 del libro editado por R.L. Weigel, "Earthquake Engineering", Prentice-Hall (1970)





PLANTA DE COLUMNAS

TABLA DE COLUMNAS							
PISO	NIVEL (m)	COLUMNA	TIPO				
CUBIERTA ELEVADORES		C-1	C-2	C-3	C-4	C-5	C-6
CUBIERTA ELEVADORES							
AERTEA	10.00						
11	11.00						
12	11.80						
13	12.60						
14	13.40						
15	14.20						
16	15.00						
17	15.80						
18	16.60						
19	17.40						
PLANTA	18.00						



ELEVACION MARCO EJE A

...

...

...

...

...

...

...

...

...

...

...

...

...

...

...

...

...

...

...

...

...

...

...

...

...

...

...

...

...

...

...

...

...

...

...

...

...

...

...

...

...

...

...

...

...

...

...

...

...

...

...

...

...

...

...

...

...

...

...

...

...

...

...

...

...

...

...

...

...

...

...

...

...

...

...

...

...

...

...

...

...

...

...

...

...

...

...

...

...

...

...

...

...

...

...

...

...

...

...

...

...

...

...

...

...

...

...

...

...

...

...

...

...

...

...

...

...

...

...

...

...

...

...

...

...

...

...

...

...

...

...

...

...

...

...

...

...

...

...

...

...

...

...

...

...

...

...

...

...

...

...

...

...

...

...

...

...

...

...

...

...

...

...

...

...

...

...

...

...

...

...

...

...

...

...

...

...

...

...

...

...

...

...

...

...

...

...

...

...

...

...

...

...

...

...

...

...

...

...

...

...

...

...

...

...

...

...

...

...

...

...

...

...

...

...

...

...

...

...

...

...

...

...

...

...

...

...

...

...

...

...

...

...

...

...

...

...

...

...

...

...

...

...

...

...

...

...

...

...

...

...

...

...

...

...

...

...

...

...

...

...

...

...

...

...

...

...

...

...

...

...

...

...

...

...

...

...

...

...

...

...

...

...

...

...

...

...

...

...

...

...

...

...

...

...

...

...

...

...

...

...

...

...

...

...

...

...

